

TECHNIKA CIEPLNA

CZASOPISMO STOWARZYSZENIA DOZORU KOTŁÓW W WARSZAWIE

OFICJALNY ORGAN POLSKIEGO KOMITETU NORMALIZACYJNEGO DLA SPRAW KOTŁOWYCH

REDAKTOR: Inż. techn. JAN KOMARNICKI

Wydawca: Stowarzyszenie Dozoru Kotłów w Warszawie.

REDAKCJA I ADMINISTRACJA: WARSZAWA, CHMIELNA 2, m. 6. TEL. 275-45.

GODZINY BIUROWE: REDAKCJI—PIĄTKI, OD 18 DO 20, ADMINISTRACJI—CODZIENNIE, OD 10 DO 15

TREŚĆ: *M. Strzałko*, inż. O ciekawym wypadku zniszczenia blachy kotła destylacyjnego przez nacementowanie. — *I. Gruszczyński*, inż. Przywóz armatury z zagranicy. — *T. Wróblewski*, inż. Przyczynki do przeliczeń turbinowych. — *Cz. Grabowski*, prof. Zasady hydraulicznej teorii ciągu naturalnego. — EKSPLOZJE APARATÓW PRACUJĄCYCH POD CIŚNIENIEM: *R. M.* Wybuch zbiornika ze sprężonym powietrzem. — *W. Z.* Wybuch płyty do prasy. — Bilans techniczny za 1928 r. — Walne Zgromadzenie Stowarzyszenia dla Rozwoju Spawania i Cięcia Metali w Polsce. — Nowe wydawnictwa. — PRZEGLĄD WYTWÓRCZOŚCI: *R. M.* Doświadczenia z ekonomizerami z rur żebrowych. Kocioł olbzym.

SOMMAIRE: *M. Strzałko*, ing. Un cas intéressant de destruction des tôles d'un récipient distillateur par la cimentation du matériel. — *I. Gruszczyński*, ing. L'import des armatures des chaudières à vapeur. — *T. Wróblewski*, ing. Quelques notes sur la calculation des effets d'essais des turbines à vapeur. — *Cz. Grabowski*, prof. La théorie hydraulique du tirage naturel. — LES EXPLOSIONS des APPAREILS SOUS PRESSION, *R. M.* L'explosion d'un récipient à l'air comprimé. — *W. Z.* L'explosion d'une plaque. — La réunion de la Société Polonaise pour la soudure et la coupure des métaux. — NOUVELLES ÉDITIONS. NOUVEAUX PROCÉDÉS: *R. M.* Les expériences collectées avec les économiseurs aux tubes à ailettes. — Une chaudière à vapeur monstre.

Inż. *M. STRZAŁKO*.

O CIEKAWYM WYPADKU ZNISZCZENIA BLACHY KOTŁA DESTYLACYJNEGO PRZEZ NACEMENTOWANIE

Istotą szeroko w technice stosowanego procesu cementacji żelaza węglem jest nadanie danemu przedmiotowi znacznej twardości powierzchniowej, nie zmieniając jednocześnie niektórych jego początkowych właściwości. Z wzrostem twardości zwiększa się, jak wiadomo, odporność na ścieranie, użycie zaś twardszych gatunków stali, ze względu na ich kruchość, jest bardzo często niemożliwym.

Cementacji węglem poddawane więc są różne odpowiedzialne części maszyn jak tryby samochodowe, wałki sterujące, sworznie, czopy itp. Materiałem wyjściowym jest przeważnie miękka stal węglista z zawartością C = 0,1 — 0,15% i z możliwie jak najmniejszą domieszką zanieczyszczeń, aczkolwiek stosuje się też z powodzeniem gatunki z zawartością 2 do 4% a nawet do 8% niklu, a niekiedy chromu i pierwiastków szlachetniejszych jak molibden, wolfram, wanad.

Innym przykładem cementacji jest jednostronne utwardzanie powierzchni płyt pancernych, w celu zwiększenia ich odporności na uderzenia kul. Cementacji poddaje się też

przedmioty z stali narzędziowej, które wskutek często powtarzanej obróbki termicznej uległy odwęgleniu u powierzchni.

Rezultatem ostatecznym procesu cementacji jest uzyskanie utwardzonej warstwy o pewnej grubości, która zależy od następujących czynników: 1) temperatury cementacji, 2) czasu trwania procesu, 3) rodzaju środka nawęglającego, 4) sposobu stygnięcia po nacementowaniu i 5) gatunku użytej stali. Wpływ tych czynników przestudjowany był obszernie przez wielu badaczy i nie mamy zamiaru na tem miejscu powtarzać rzeczy dobrze znanych fachowcom.

Z tego krótkiego wstępu widać, że proces dyfuzji węgla na pewną głębokość w stal miękka wyzyskiwany jest w praktyce w celu przedłużenia życia różnym elementom maszyn. W tym referacie chcielibyśmy zaznaczyć szerszy ogół z ciekawym wypadkiem, w którym samorzutnie zaszła cementacja wywarła wprost przeciwny wpływ na daną konstrukcję.

Nim jednak przystąpimy do rzeczy pozwolę sobie zwrócić uwagę na okoliczności, w jakich trafił do naszych rąk badany materiał i czemu zawdzięczaliśmy możliwość spotkania tak ciekawego wypadku.

Ciężka sytuacja gospodarcza państwa i od dłuższego czasu trwający w przemyśle kryzys zmusza poszczególne przedsiębiorstwa do czynienia daleko idących oszczędności, które daje się przedewszystkiem uzyskać przez zmniejszenie kosztów własnych produkcji. Jedną z pozycji tych kosztów jest zużycie materiałów pomocniczych.

Nie ulega wątpliwości, że dążność do oszczędności jest bodaj jedyną dobrą stroną kryzysu gospodarczego, zachęca bowiem przedsiębiorstwa do dokładniejszej analizy wytwórczości co oczywiście należałoby czynić nietylko w nieprzychylnych okolicznościach. Co zaś dotyczy zużycia materiałów pomocniczych to należy pamiętać, że istnieje pewna dolna granica, poniżej której przy danym sposobie pracy zejść nie można. O tej ważnej zasadzie zdaje się zapomniała jedna z firm rafineryjnych w wschodniej Małopolsce, która reklamuje blachę kotła destylacyjnego, która uległa zniszczeniu po 7 tygodniach pracy podczas gdy normalnie okres ten wynosi 6 miesięcy i oczywiście uważała za odpowiednie podkreślić, że „dostawa jakościowo nie była bez zarzutu“.

Prysłana próbka zniszczonej blachy została przez nas dokładnie analitycznie i metalograficznie zbadana, dając bardzo ciekawy okaz samorzutnej cementacji. Przedstawiała się ona jako nieregularna masa z jednej strony mniejwięcej płaska podczas gdy z drugiej zwisały sople wskazujące na to, że materiał znajdował się w temperaturze topienia (fot. 1). Powierzchnia pokryta soplami była



Fot. 1. Wielkość naturalna, strona blachy wystawiona na działanie ognia, widać zwisające sople stopionego i utlenionego na powierzchni metalu.

utleniona co wskazywało na dłuższe przebywanie jej w kontakcie z płomieniem. Wewnętrzna powierzchnia kotła destylacyjnego (fot. 2) zachowała mniejwięcej swój pierwotny kształt za wyjątkiem nieznacznego pofałdowania. Na fot. 2 jaśniejsze plamy przed-

stawiają miejsca blachy z metalicznym połyskiem, ciemniejsze — pokryte substancją wę-



Fot. 2. Wielkość naturalna, powierzchnia wewnętrzna blachy kotła, jasne miejsca posiadają połysk metaliczny i wolne są od jakichkolwiek nalotów, ciemniejsze pokryte są substancją węglową (sadza, smoła, ślady koksu itp.). Cała powierzchnia jest nieznacznie pofalowana.

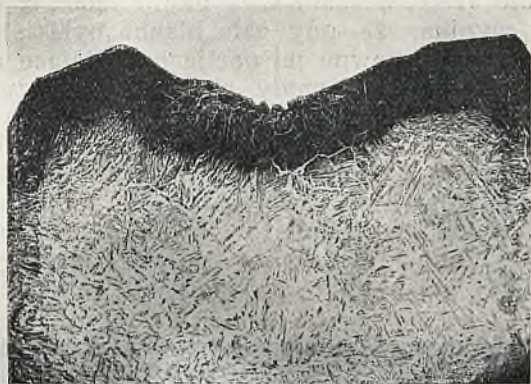
glową jak sadza, zapieczona smoła, różne nieoddestylowujące się składniki ropy. Duża twardość miejsc z połyskiem znacznie większa niż właściwa temu rodzajowi materiału i miejscami obecność dość silnie przylegającej warstwy substancji węglowej, dalej charakterystyczne sople od strony ogniowej, dowodzące ogrzania metalu do temperatury topienia, od razu wskazywały na poważne zmiany jakie musiały zajść w tworzywie blachy.



Fot. 3. Pow. 100x, traw. kwasem pikrynowym materiał wnętrza blachy kotła destylacyjnego, na tle ferrytu ciemne pola perlitu.

Żelazne części przebywając dłuższy czas w ogniu zużywają się normalnie przez utle-

nienie. Początkowo następuje odwęglenie zewnętrznej powierzchni wskutek dyfuzji tlenu w głąb metalu. Z biegiem czasu proces ten posuwa się coraz głębiej, zawartość węgla w żelazie spada. W dalszym porządku rzeczy utlenia się żelazo i przedmiot pokrywa się coraz grubszą warstwą zendry dopóty, dopóki wskutek osłabienia nie odpadnie się.



Fot. 4. Pow. 10 \times , traw. kwasem pikrynowym, ciemny pas przedstawia warstwę nacementowaną, białe igły w wgłębieniu od zewnątrz — cementyt.

Znaczna twardość próbki będącej w naszym posiadaniu i nieobecność łatwo odpadającej warstwy kruchej zendry naprowadziły nas na myśl, że musiał zajść tu proces wprost przeciwny.

Badanie rozpoczęto przede wszystkim od analizy chemicznej, która wykazała następujący skład zużytej blachy: C = 0,38%, Mn = 0,41%, P = 0,017%, S = 0,035%. Dostarczony zaś materiał tego rodzaju posiada następujący skład: C = 0,10%, Mn = 0,42%, P = 0,02%, S = 0,025%¹⁾. Na pierwszy rzut oka widać, że podczas gdy zawartości Mn, P, S, są w obu wypadkach prawie jednakie, zawartość węgla wzrosła beżmała czterokrotnie.

Ta zwiększona zawartość węgla wskazała, a badanie metalograficzne całkowicie stwierdziło, jaki proces zaszedł w badanej blasce i co było powodem jej zniszczenia.

Rezultaty badania mikroskopowego zestawione są w szeregu mikrofotografji, z których fot. 3 przedstawia normalny materiał kotłowy, na którym jednak znać trochę przegrzanie, ziarna bowiem ferrytu, aczkolwiek niezupełnie wyraźnie uwidocznione, posiadają dość znaczne rozmiary; ta mikrofotografia daje obraz materiału warstw wewnętrznych blachy po jej zużyciu, a więc reprezentuje tworzywo nie uległe działaniu obcych czynników.

¹⁾ Analiza powyższa jest średnią kilkudziesięciu analiz materiału kotłowego.

Fot. 4 jest 10-krotnym powiększeniem przekroju blachy i wyraźnie pokazuje jaki, gdzie najsilniej i na jaką głębokość zaszedł proces cementacji materiału węglem. Miejsca wzbogacone w ten pierwiastek, a odpowiadające zawartością C składowi eutektoidalnemu, po wytrawieniu kwasem pikrynowym dały obraz czarny (perlit). Grubość warstwy utwardzonej jak łatwo można przekonać się



Fot. 5. Pow. 100 \times , tr. kw. pikryn., materiał u powierzchni blachy od strony wewnętrznej kotła, igły cementytu na tle perlitu.

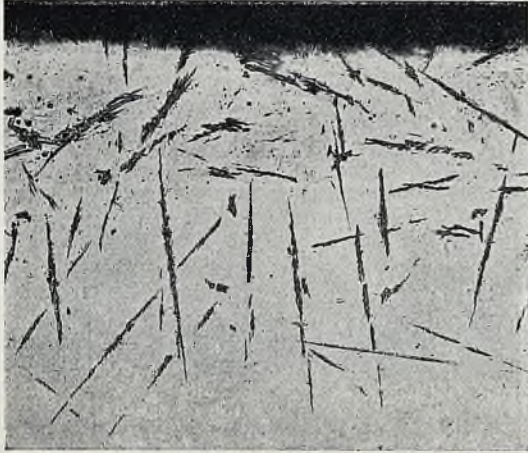
wynosi około 1,1 mm podczas gdy całkowita grubość blachy w miejscu sfotografowanem waha się koło 6 mm. We wgłębieniu blachy od strony wewnętrznej kotła widać, że nawęglanie materiału poszło tu dalej niż w innych miejscach, obecność bowiem niezabarwionych przez kwas pikrynowy igieł cementytu wskazuje na przekroczenie zawartości eutektoidalnej¹⁾. W pozostałej masie materiału perlit układa się w ferrycie w kierunku równoległym do płaszczyzny łupliwości szescianu, (budowa Widmannstätten'a), co jest dowodem silnego przegrzania blachy do temperatur w których nastąpiła cementacja węglem.

Fot. 5 pokazuje nacementowaną węglem blachę powyżej zawartości eutektoidalnej, gdyż występują tu dobrze wykształcone igły cementytu, zwiększające znacznie jej twardość i kruchość. Identyczny obraz mamy na fot. 6, z tą tylko różnicą, że do uwidocznienia cementytu użyto pikratu sodu, odczynnika barwiącego go ciemno, a nie działającego na ferryt i perlit.

Fot. 7 i 8 przedstawiają przejście od warstwy wzbogaconej w węgiel do reszty tworzywa. Doskonale wykształcona budowa

¹⁾ Analiza wykazała 0,38% C, badanie zaś metalograficzne ustaliło, że nawęglenie niekiedy dość znacznie przekracza zawartość perlityczną (0,9%). Trzeba pamiętać, że analiza chemiczna daje nam tylko średnie wzbogacenie materiału w węgiel.

Widmannstätten'a widoczna na fot. 7 i bardzo gruboziarnista perlitu warstwy nacementowanej na fot. 8, dowodzą, że materiał dłuższy czas przebywał w temperaturach zbliżonych do topienia dla tworzywa pierwotnego o zawartości 0,10% C, obecność zaś sopli po stronie ogniowej blachy i miejscami metalicznie błyszcząca powierzchnia od wewnątrz, że ta temperatura dla materiału bogatszego w węgiel została przekroczona.



Fot. 6. Pow. 100 \times , traw. pikratem sodu, to samo co fot. 5, ciemno zabarwione igły cementytu na tle perlitu.

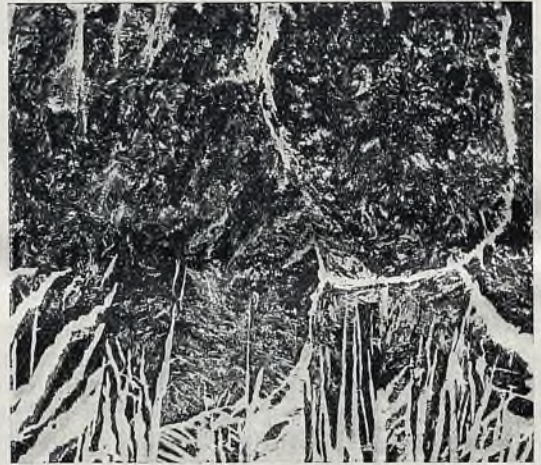
Reasumując powyższe wywody stajemy wobec pytania: w jaki sposób i dlaczego badana blacha po 7 tygodniach pracy stopiła się podczas gdy normalny okres pracy wynosi 6 miesięcy (bez topienia się), po którym wymienia się ją li tylko wskutek osłabienia.



Fot. 7. Pow. 100 \times , tr. kw. pikryn., przejście od warstwy nacementowanej ku wnętrzu blachy, budowa Widmannstätten'a — skutek silnego przegrzania.

Na pytanie w jaki sposób nastąpiło zniszczenie blachy odpowiedź daje wyczerpujące badanie metalograficzne i chemiczne. Materiał kotłowy, a więc o niskiej zawartości

węgla przebywał przez dłuższy okres czasu w wysokich temperaturach w zetknięciu z węglem rezultatem czego było nacementowanie się. Jak wiadomo wzrost zawartości węgla obniża temperaturę topienia żelaza i to temperaturę początku topienia gwałtowniej niż końca. Podczas gdy zawartości 0,10% C odpowiada temperatura początku topienia około 1450°, to eutektoidalnej odpowiada około 1280°, a 1,25% C — około 1200°, z czego wynika, że gdy cała blacha była silnie przegrzana, pewne jej partje posiadające największą zawartość węgla zaczynały się topić, w rezultacie czego materiał stawał się ciastowaty i w miejscach najsłabszych zaczynał zwisać ku dołowi jako sople. Z chwilą zaś przekroczenia swej wytrzymałości w tej temperaturze pękał, powodując wylewanie się zawartości kotła. Metaliczny połysk niektórych miejsc wewnętrznej powierzchni kotła tłu-



Fot. 8. Pow. 100 \times , tr. kw. pikryn., przejście od warstwy nacementowanej ku wnętrzu blachy, grube ziarna perlitu — skutek przegrzania, ku dołowi przybiera ferrytu, u góry widoczne igły cementytu.

maczy się analogicznie. Są one miejscami najbardziej nawęglonemi (na fot. 4, 5 i 6 gdzie występują igły cementytu), a więc posiadającymi najniższą temperaturę topliwości. Przebywanie materiału przez dłuższy czas w tej temperaturze spowodowało nieznaczne upłynnienie się powierzchni a następnie skrzepnięcie z pośladowaniem się. Nieobecność tlenu sprawiła, że wyglądają one jak odpolerowane.

Dlaczego zjawisko cementacji nastąpiło w blasze kotła destylacyjnego powodując jej przedwczesne zużycie? Tu przyczyny należy szukać li tylko w niedbalstwie obsługi. Kotły do destylacji ropy naftowej wymagają skrupulatnego co pewien czas czyszczenia z „kamienia“, którego głównym składnikiem jest substancja węglowa. O ile się tego nie robi, lub robi niedokładnie, to pewne miejsca dna

kotła nie podlegają chłodzeniu przez ciągłą cyrkulację ropy powłoka bowiem węglowa nie dopuszcza jej do żelaznych ścianek. W takich miejscach istnieją idealne warunki dla cementacji węglem. Materiał wskutek niechłodzenia ulega lokalnemu przegrzaniu, nawęglą się, a o ile temperatura przekroczy temperaturę początku topienia, następuje wyżej opisane zjawisko zniszczenia blachy. Dokładne i regularne czyszczenie kotła jest zabezpieczeniem przed tą ewentualnością,

albowiem cementacja żelaza węglem w temperaturach destylacji ropy (do 400°) praktycznie nie zachodzi.

Przy tej sposobności uważam za swój miły obowiązek podziękować tą drogą Dyrekcji Huty Pokoju za zezwolenie ogłoszenia tej pracy a Kierownikowi Zakładu Badawczo-Doświadczalnego Dr. Inż. I. Feszczenko-Czopińskiemu za naukową pomoc przy wykonaniu tego badania.

Inż. IGNACY GRUSZCZYŃSKI.

PRZYWÓZ ARMATURY Z ZAGRANICY

Rozważania na temat przywozu z zagranicy kotłów parowych i ich części, wyłączone w Nr. 3 *Techniki Ciepłej*, wysuwają z kolei i sprawę armatury, stanowiącej uzbrojenie kotła. Wobec znacznego zapotrzebowania armatury przez wytwórnie kotłów parowych oraz przez liczne przemysły do aparatury, rurociągów i różnych instalacji, jest rzeczą interesującą, w jakim stopniu potrzeby te są zaspakajane przez fabryki armatur, i jak się przedstawia przywóz z zagranicy.

Dane, zaczerpnięte ze statystyki celnej, opartej o odnośne pozycje taryfy celnej, nie dają wyczerpującej odpowiedzi na to pytanie, gdyż obejmują sumarycznie armaturę parową łącznie z armaturą wodociągową i gazową, uwzględniając tylko podział według materiału.

Według danych z wydawnictwa „Handel Zagraniczny Rzeczypospolitej Polskiej” przywóz armatury żeliwnej oraz stalowej, objętej pozycją 167 punkt 30a i b, przedstawia się w sposób następujący¹⁾:

Przywóz więc armatury żeliwnej i stalowej wzrasta, poczynając od roku 1926, i osiąga poziom zł. 5.327.000 w roku 1929.

W roku bieżącym pomimo kryzysu gospodarczego, a więc wydatnego osłabienia tempa inwestycyjnego, przywóz powyższej armatury przedstawia się poważnie:

Miesiące	Ogółem		Niemcy		Austria		Czechosłowacja	
	kg.	zł.	zł.	%	zł.	%	zł.	%
Styczeń	62.700	370.000	234.000	63	45.000	12	24.000	7
Luty	85.600	378.000	180.000	45	50.000	12	24.000	6
Marzec	47.200	265.000	169.000	60	29.000	11	17.000	6

W analogiczny sposób przedstawia się przywóz armatury spiżowej: parowej, wodociągowej i gazowej (oraz osobno niewymienionej¹⁾).

Przywóz wzrasta w stosunku prawie geometrycznym, osiągając w roku ubiegłym poziom zł. 8.241.000. Charakter przywozu wybitnie zwykły. I w roku bieżącym pomimo znacznego osłabienia tętna życia gospodarczego przywóz utrzymuje się na bardzo wysokim poziomie, gdyż zakupiono z zagranicą:

Miesiące	Ogółem		Niemcy		Austria		Czechosłowacja	
	kg.	zł.	zł.	%	zł.	%	zł.	%
Styczeń	57.300	666.000	321.000	48	238.000	36	30.000	5
Luty	50.000	617.000	335.000	54	228.000	37	9.000	3
Marzec	45.000	544.000	268.000	49	203.000	37	13.000	2

W przywozie armatury do Polski dominujące stanowisko zajmują Niemcy (53%—73%), potem Austria (8%—38%), wreszcie Czechosłowacja (3%—9%); inne państwa odgrywają znikomą rolę.

(Przywóz armatury nie ulegał żadnym restrykcjom z tytułu wojny celnej z Niemcami).

Ogółem więc w ostatnim roku sprowadzono z zagranicy armatury za zł. 13.568.000, która to kwota jest niezmiernie wysoka, jeżeli się zważy, że posiadamy cały szereg poważnych wytwórni specjalnie armaturowych, (nie licząc małych zakładów), oraz fabryki, produkujące armaturę, jako jeden z działów swej wytwórczości. Do pierwszej kategorii należy zaliczyć wytwórnię: Gwiżdziński i S-ka w Warszawie, Zakłady Mechaniczne „Ursus” Sp. Akc. w Warszawie,

¹⁾ Por. tabela 1 i 2 str. 138.

¹⁾ Por. tabela 3, str. 139.

T A B E L A I

Armatura parowa, wodociągowa i gazowa — żeliwna

(poz. 167 p. 30a taryfy celnej)

rok	O G Ó L N E M		Niemcy Zł.	%	Austria Zł.	%	Czechosłow. Zł.	%	Anglija Zł.	%	Francja Zł.	%	Szwajcaria Zł.	%
	kg	Złote												
1926	228.400	780.000	484.000	62	177.000	22	25.000	3	47.000	6	61.000	2	—	—
1927	283.400	1.308.000	821.000	63	258.000	20	41.000	3	70.000	5	64.000	5	—	—
1928	459.400	1.993.000	1.270.000	63	300.000	15	139.000	7	—	—	—	—	93.000	5
1929	paltrz	Tabela II												

T A B E L A II

Armatura parowa — stalowa i żelazna

(poz. 167 p. 30b taryfy celnej)

rok	O G Ó L N E M		Zł.	%	Zł.	%	Zł.	%	Zł.	%	Zł.	%	Zł.	%
	kg.	Złote												
1926	118.800	598.000	413.000	68	91.000	15	51.000	9	19.000	3	—	—	1.000	—
1927	234.000	1.316.000	954.000	73	120.000	9	31.000	2	91.000	7	—	—	48.000	4
1928	402.900	2.233.000	1.444.000	65	188.000	8	151.000	7	102.000	5	169.000	8	133.000	6
1929*)	1.233.500	5.327.000	3.539.000	67	510.000	10	372.000	7	—	—	—	—	—	—

*) Uwaga. Dane łącznie wg. Tabeli I wobec nieukazania się w druku Rocznika Gł. Urzędu Stat. za rok 1929.

T A B E L A III

Armatura parowa, wodociągowa i gazowa — spłżowa

(poz. 167 p. 30 c i d taryfy celnej)

rok	O G Ó Ł E M		Niemcy Zł.	%	Austria Zł.	%	Czechosłow. Zł.	%	Anglia Zł.	%	Francia Zł.	%
	kg.	Złote										
1926	166.500	1.780.000	1.000.000	56	680.000	38	20.000	1	19.000	1	17.000	1
1927	420.600	4.664.000	2.815.000	60	1.498.000	32	94.000	2	94.000	2	89.000	2
1928	561.600	6.346.000	3.364.000	53	2.401.000	38	165.000	3	—	3	180.000	3
1929	710.400	8.241.000	4.434.000	54	2.887.000	34	243.000	3	—	3	—	—

Sp. Akc. „Sam” Münstermann w Katowicach, Przemysł Fosforbronzu E. v. Münstermann w Bielsku, Rudolf Schmidt w Białej, St. Kraupe w Sosnowcu, S. Samulski w Pleszewie. Ostatnią kategorię reprezentują: Tow. Akc. Borman, Szwede i S-ka, Tow. Akc. K. Rudzki i S-ka, Sp. Akc. Zieleniewski — Fitzner — Gamper, wreszcie Warszawska Fabryka Budowy Parowozów, Sp. Akc. Ogółem na produkcję około 2.500.000 kg w roku 1928 złożyło się razem 15 wytwórni armaturowych i 4 wyżej wymienione Zakłady Przemysłowe (według danych Rocznika VIII Polskiego Związku Przemysłowców Metalowych), gdy za tenże okres czasu przywóz z zagranicy wyniósł 1.943.900 kg, co stanowi prawie 80% produkcji krajowej. Wysoka wartość przywozu wskazuje na duże możliwości rozwoju dla rodzimej wytwórczości, z drugiej zaś strony ilustruje wybitnie, że przemysł armaturowy nie opanował w dostatecznym stopniu własnego rynku, i że istnieją zasadnicze przyczyny, uniemożliwiające wyparcie konkurencji zagranicznej. Liczby przywozu w roku bieżącym, bynajmniej nie zmniejszające się, świadczą, że niektóre gałęzie przemysłu pokrywają swe zapotrzebowanie tylko zagranicą, uchylając się od współpracy z przemysłem rodzimym, który wegetuje z braku dostatecznego zatrudnienia.

Do czynników, wpływających hamująco na rozwój produkcji rodzimej, należy zaliczyć brak taniego kredytu długoterminowego, bez którego wytwórnie nie mogą podnieść swych warsztatów do poziomu fabryk zagranicznych, brak porozumienia się odnośnie programów fabrykacyjnych, co uniemożliwia większą specjalizację, a więc zracjonalizowanie produkcji i jej potanie, niewystarczająca ochrona celna wobec zbyt małego zróżniczkowania armatury w stosunku do jej wartości. Istniejące wytwórnie winny we właściwym interesie zbadać gospodarcze warunki, paraliżujące ich rozwój, i dążyć wspólnymi siłami do ich usunięcia.

Na wysoki przywóz wpływa również zbyt mała produkcja armatury parowej — stalowej, co wybitnie podkreśla tabela II. W roku 1928 przywieziono tego rodzaju armatury za zł. 2.233.000, w roku ubiegłym znacznie więcej wobec szerokiego stosowania w przemyśle pary na wysokie ciśnienia.

PRZYCZYNEK DO PRZELICZEŃ TURBINOWYCH

Przeliczenia wyników pomiarów gwarancyjnych turbin parowych na warunki gwarancyjne nasuwają zawsze rozmaite wątpliwości na temat ścisłości stosowanych wzorów. Wątpliwości te znalazły odbicie w projekcie, by do „Norm odbiorczych“ polskich nie wprowadzać ściśle określonych wzorów a jedynie wskazać, jakimi wzorami można się posłużyć, zostawiając wybór ich stronom zainteresowanym.

U nas w Polsce dla turbin kondensacyjnych najczęściej stosowane są wzory:

$$1) \quad G_{gw}^{(1)} = G_{zm} \frac{\eta_{zm} \cdot \Delta i_{zm}}{\eta_{gw} \cdot \Delta i_{gw}};$$

$$2) \quad G_{gw}^{(2)} = G_{zm} \frac{\eta_{zm} \cdot \Delta i_{zm} - \left(\frac{Ac^2}{2g} \right)_{zm}}{\eta_{gw} \cdot \Delta i_{gw} - \left(\frac{Ac^2}{2g} \right)_{gw}};$$

3) Poprawki francuskie.

Wzór 1) w założeniu, że warunki pomiaru b. mało odbiegają od gwarantowanych, czyli

$$\eta_{zm} \sim \eta_{gw},$$

przybiera postać:

$$4) \quad G_{gw} = G_{zm} \frac{\Delta i_{zm}}{\Delta i_{gw}};$$

Wzorem tym stawiane są różne zarzuty. A więc przy wzorze 1 i 4 stawiany jest zarzut, że przy dużych różnicach próżni w kondensatorze w porównaniu z gwarantowaną znacznie zmieniają się straty wylotowe, co należy uwzględnić, i w tym celu proponują dostawcy wzór 2). Wzór 2) jednak wymaga stosowania szeregu pomocniczych wykresów, dostarczonych przez dostawcę zasadniczo

przed odbiorem, przeliczenia są zmużnione a same tablice nasuwają czasem wątpliwości co do dokładności, której może brakować nawet mimo wiedzy i dobrej woli dostawcy¹⁾.

„Poprawkom francuskim“, które w przeliczeniach są b. proste, stawiany jest zarzut, że są zbyt korzystne dla dostawcy, co oczywiście ma miejsce, oraz że współczynnikom wprowadzonym przez nie brak jest podstaw teoretycznych, głównie zaś, że pomiary mogą być przeprowadzone tylko w warunkach bardzo zbliżonych do gwarancyjnych.

Poniżej postaramy się wskazać skąd zaczerpnięto współczynniki dla „poprawek francuskich“.

Przy pomiarach i przy przeliczeniach wyników robimy zasadnicze założenie, że warunki pomiaru powinny być identyczne lub mogą mało odbiegać od warunków gwarancyjnych.

Przy turbinach dotyczy to ciśnienia dolotowego, temperatury pary dolotowej, przeciwcisnienia ew. temperatury wody chłodzącej, obciążenia.

Inne czynniki przy porównywaniu osiągniętych wyników z gwarantowanymi dla tej samej turbiny w grę nie wchodzi.

Wobec dopuszczalnej małej różnicy warunków pomiarów i gwarancji możemy przyjąć, że sprawność termodynamiczna gwarantowana i osiągnięta w czasie pomiaru są prawie równe a wtedy wpływ na zużycie pary ma spadek adyabatyczny ciepłika i zużycie pary będzie się zmieniać jak zmienia się spadek adyabatyczny lub inaczej powiedziawszy, tak jak się zmienia zużycie turbiny idealnej.

Oprócz tego jednak musimy wziąć pod uwagę, że stosunek ciepłika wyzyskanego w turbinie idealnej do całkowitego ciepłika pary tj. sprawność turbiny idealnej, wobec odchylenia się warunków pomiaru od warun-

¹⁾ Najważniejszą rzeczą, t.j. przebieg krzywej próżni, może rzeczoznawca przeważnie skontrolować, a powinien to nawet uczynić.

Dostawcy czasem nie zadawają się uwzględnieniem strat wylotowych, a twierdzą, że jeśli turbina, z powodu pracy z bardzo niską temperaturą wody chłodzącej, musi opanować większy spadek adyabatyczny Δi , to zmniejsza się liczba Parsonsa

$$\omega = \frac{\sum u^2}{\Delta i},$$

co powinien rzeczoznawca uwzględnić pewnym współczynnikiem, którego jednak jeszcze nie znamy,

¹⁾ G_{gw} — zużycie na jednostkę mocy przeliczone na warunki gwarancyjne,

G_{zm} — zużycie na jednostkę mocy otrzymane w warunkach pomiaru,

Δi_{gw} — spadek adyabatyczny ciepłika w warunkach gwarancyjnych,

Δi_{zm} — spadek adyabatyczny ciepłika w warunkach pomiaru,

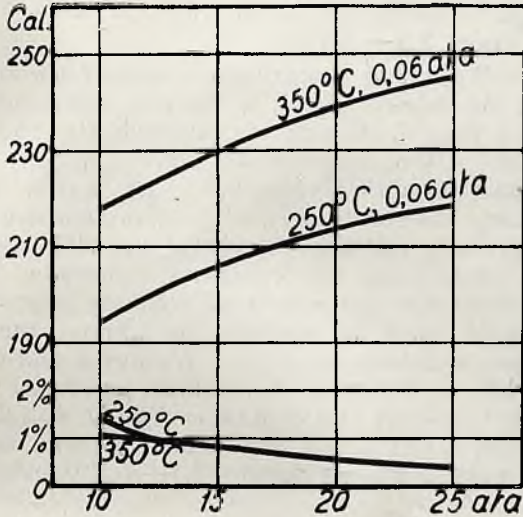
η_{zm} i η_{gw} — sprawność w warunkach pomiaru i gwarancji,

$\left(\frac{Ac^2}{2g} \right)_{zm}$ i $\left(\frac{Ac^2}{2g} \right)_{gw}$ — strata wylotowa w warunkach pomiaru i gwarancji.

ków gwarancyjnych uległa zmianie, co ma również wpływ na zużycie pary.

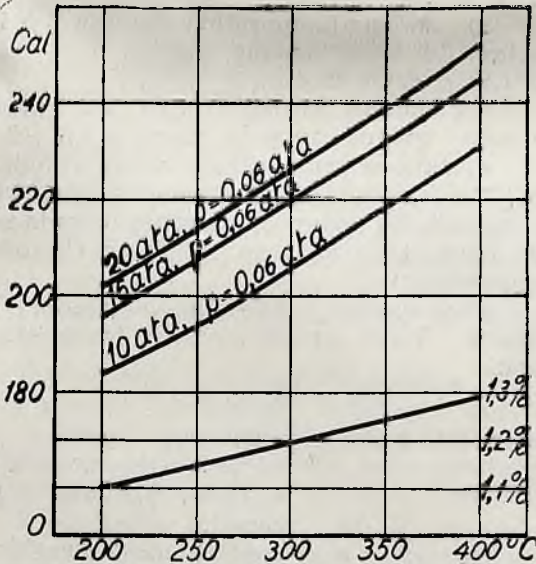
Załączone wykresy 1, 2, 3 (rys. 1-3) ilustrują zmianę spadku adybatycznego ciepłika w funkcji ciśnień, temperatur i próżni; oprócz tego wykresy podają procentową zmianę zużycia pary turbiny idealnej ze względu na zmianę ciśnienia dolotowego o 1 atm ze względu na

Wykres 3, oprócz krzywych wyliczonych, podaje 2 krzywe kreskowane z dopiskiem „rzeczywista wg. Stodoli“. Krzywa pełna między nimi podaje wartość średnią. Krzywe te pochodzą z badań Stodoli, który doszedł do wyników, że rzeczywisty wpływ próżni na zużycie pary jest mniejszy niż to wynika ze spadku adybatycznego; Stodola tłumaczy to tem, że turbiny są budowane na pewną średnią próżnię.



Rys. 1

zmianę temperatury pary dolotowej o 10°C, oraz ze względu na zmianę próżni o 0,01 atm.¹⁾



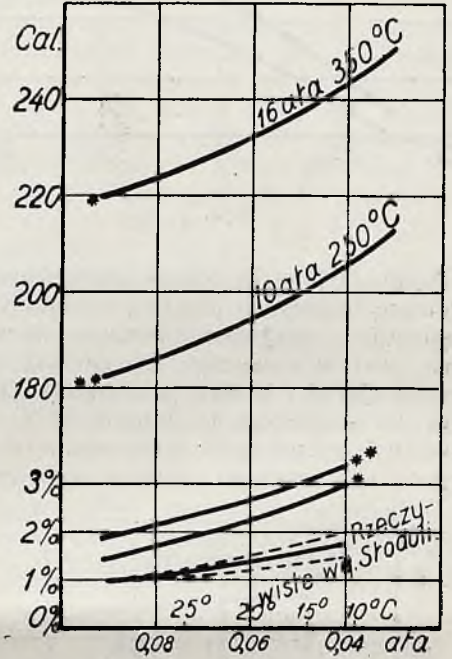
Rys. 2

¹⁾ Na wykresie 1 podano zmianę spadku adybatycznego ciepłika dla temperatur 250°C i 350°C, próżni 0,06 atm, w funkcji ciśnienia dolotowego.

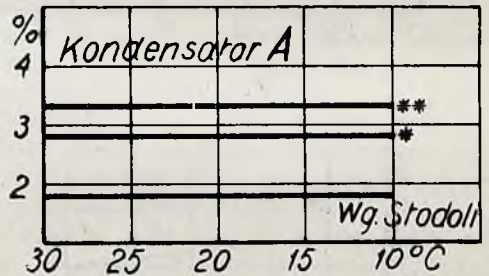
Dolna krzywa tego wykresu podaje procentową zmianę ciepłika przy zmianie ciśnienia o jedną atmosferę; zużycie pary zmienia się odwrotnie niż spadek ciepłika.

Procentową zmianę ciepłika wyliczono jak w poniższym przykładzie:

- 250°C; 0,06 atm; 10 atm — ; i = 194,5 cal.
- 250°C; 0,06 atm; 11 atm — ; i = 197,4 cal.



Rys. 3



Rys. 4

$$\text{procentowa zmiana} = \frac{197,4}{194,5} \cdot 100 = 101,4\%$$

tj. przyrost 1,4%

- 250°C; 0,06 atm; 11 atm — ; i = 197,4 cal.
- 250°C; 0,06 atm; 12 atm — ; i = 199,5 cal.

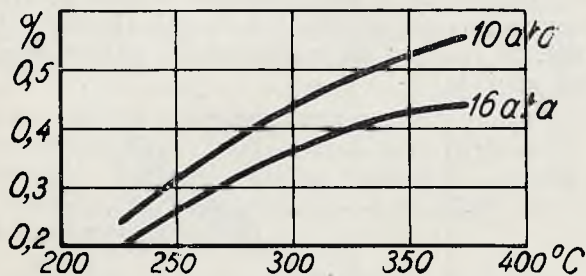
$$\text{procentowa zmiana} = \frac{199,5}{197,4} \cdot 100 = 101,2\%$$

tj. przyrost 1,2%.

W podobny sposób wyliczono dalsze punkty tej i krzywych wykresów 2, 3 i 5.

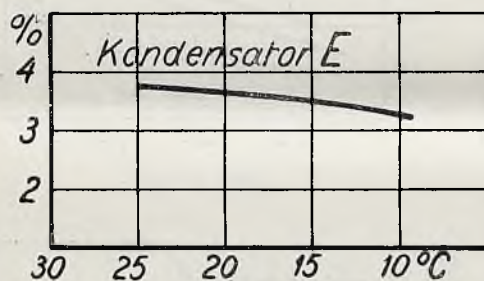
Wykres 2 ma tylko jedną krzywą procentowej zmiany zużycia, gdyż krzywe spadków adybatycznych są do siebie równoległe.

Wykresy 4, 6, 7 (rys. 4, 6, 7) są wynikiem tabeli 3, odnoszą się do kondensatorów AEG i podają procentową zmianę zużycia pary w funkcji zmiany temperatury wody cyrkulacyjnej o pięć stopni C, przy stałej ilości kondensatu.

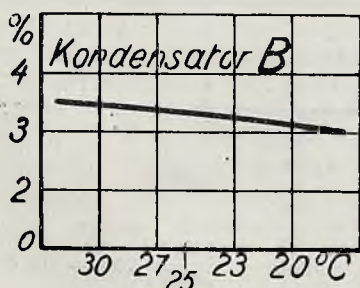


Rys. 5

Wykres 5 (rys. 5) podaje procentową zmianę sprawności turbiny idealnej w funkcji ciśnień i temperatur, przyczem zmiana sprawności podana jest w stosunku do zmiany temperatury o 10°C, punkt oznaczony kółkiem podaje, że w granicach danych 50°C zmiana procentowa sprawności przy zmianie temperatury o 10°C wynosi tyle a tyle procent.



Rys. 6



Rys. 7

Z wykresu 1 wynika, że procentowe zmniejszenie się zużycia pary odpowiadające przyrostowi ciśnienia o jedną atmosferę, zwłaszcza w granicach 10—16 atm, wynosi średnio 1%; dla temperatur niższych przyrosty są nieco wyższe.

Wykres 2 wskazuje, że każde 10°C przyrostu temperatury odpowiada zmianie zużycia pary o 1,1—1,3%.

Wykres 3, podany dla małych różnic próżni, wskazuje, że zużycie pary zmienia się od 1,4—1,8% do 3—3,2% na każde 0,01 atm różnicy próżni.

Wykresy 4, 6, 7 oparte na wykresie 3 i zbudowane dla pewnych kondensatorów podają, że dla tych kondensatorów zmiana procentowa zużycia pary przy zmianie temperatury wody cyrkulacyjnej jest dla każdego 5° różnicy temperatury stała lub prawie stała i wynosi 2,8—3,8%.

Wykres 5 wskazuje, że sprawność zmienia się daleko więcej w funkcji temperatury niż w funkcji ciśnień; w granicach 10—16 atm. i 300—400°C procentowa zmiana sprawności wynosi średnio 0,44—0,5% na każde 10°C różnicy temperatury albo 1° zmiany sprawności odpowiada różnicy temperatury 22,5—20°C.

Posiłkując się wynikami wykresów 2 i 5 możemy dla nich utworzyć wspólną poprawkę zużycia pary ze względu na zmianę temperatury dolotowej o 10°C. Wyniesie ona (biorzemy z wykresu 5 średnie wartości dla 200 i 400°C) $1,1 + 0,14 = 1,24\%$ i $1,29 + 0,52 = 1,81\%$, co odpowiada zmianie zużycia pary o 1% na każde 8,1—5,5°C różnicy temperatury.

Zestawmy obecnie współczynnik poprawek w granicach 10—16 atm i 200—400°C.

1) zmiana ciśnienia dolotowego o 1 atm pociąga za sobą zmianę zużycia pary średnio o 1%,

2) zmiana temperatury dolotowej o 10°C pociąga za sobą zmianę zużycia pary o 1,24 do 1,81%, czyli średnio o 1,5%,

3) zmiana próżni o 0,01 atm pociąga za sobą zmianę zużycia pary o 1,6—3,1%,

4) zmiana temperatury wody chłodzącej dla kondensatorów, dla których zestawiono wykresy 4, 6, 7 odpowiada średnio zmianie zużycia pary 1,8—3% na każde 5°C różnicy temperatury.

Przechodzimy teraz do poprawek francuskich. Wzór przeliczeniowy francuski ma postać

$$G_{zm} = G_{gw} \cdot a \cdot b \cdot c$$

gdzie G_{zm} i G_{gw} — oznaczają zużycie pary na jednostkę mocy w warunkach pomiaru i gwarancji,

a — współczynnik uwzględniający zmianę zużycia pary zależnie od zmiany ciśnienia dolotowego,

b — współczynnik uwzględniający zmianę zużycia pary zależnie od zmiany temperatury dolotowej,

c — współczynnik uwzględniający zmianę zużycia pary od zmiany temperatury wody chłodzącej.

Spółczynniki te wynoszą:

$$a = 1 - 0,02 \left(\frac{p}{p_0} - 1 \right) \text{ jeżeli } p > p_0$$

$$\text{lub } a = 1 + 0,2 \left(1 - \frac{p}{p_0} \right) \text{ jeżeli } p < p_0$$

gdzie p_0 — ciśnienie gwarantowane w kg/cm^2 .

$$b = 1 - \frac{t - t_0}{850} \text{ jeżeli } t > t_0$$

$$\text{lub } b = 1 + \frac{t_0 - t}{550} \text{ jeżeli } t < t_0$$

gdzie t_0 — temperatura gwarancji zaś

$$0,9t_0 < t < 1,1t_0;$$

$$c = 1 - 0,0034 (15 - t), \text{ jeżeli } 10^\circ < t < 15^\circ \text{C}$$

$$\text{lub } c = 1 + 0,007 (t - 15), \text{ jeżeli } 15^\circ < t < 25^\circ \text{C}$$

w wypadku, gdy normalna temperatura wody chłodzącej = 15°C ;

$$\text{lub } c = 1 - 0,0038 (27 - t), \text{ jeżeli } 17^\circ < t < 27^\circ \text{C}$$

$$\text{ew. } c = 1 + 0,008 (t - 27), \text{ jeżeli } 27^\circ < t < 32^\circ \text{C}$$

w wypadku, gdy normalna temperatura wody chłodzącej = 27°C .

Porównajmy współczynniki poprawek francuskich ze współczynnikami poprawek zużycia zestawionymi poprzednio.

Spółczynnik a .

Według poprawek francuskich, zmniejszenie ciśnienia dolotowego o 1 atm w porównaniu z gwarantowanym pociąga za sobą zwiększenie zużycia pary o $1,1\%$, co zgadza się z zestawieniem poprzednim poprawek vide p. 1.

Podwyższenie jednak ciśnienia o 1 atm wg. poprawek francuskich zmniejsza zużycie pary o $0,0012\%$, z czym oczywiście trudno się zgodzić i co należy traktować jako ustępstwo krzywdzące odbiorcę na korzyść dostawcy.

Z wykresu 1 widać, że w granicach $10\text{--}16 \text{ atm}$ możnaby przyjąć, że podniesienie ciśnienia o 1 atm obniża zużycie pary o $0,8\%$.

Spółczynnik b .

Jeśli temperatura jest wyższa od gwarantowanej, to zmniejszenie zużycia pary wynosi 1% na każde $8,5^\circ \text{C}$; jeśli zaś temperatura pary jest niższa od gwarantowanej, to podwyższenie zużycia wynosi 1% na każde $5,5^\circ \text{C}$. Cyfry te zgadzają się z zestawieniem poprzednim poprawek vide p. 2; idąc jednak na rękę dostawcy, ustalono dla temperatur wyższych

od gwarantowanych poprawkę odpowiadającą temperaturze 200°C , zaś dla temperatur niższych od gwarantowanych — poprawkę odpowiadającą temperaturze 400°C .

Spółczynnik c .

Gdy $10^\circ < t < 15^\circ \text{C}$, to poprawka wynosi $1,7\%$ na każde 5°C różnicy temperatury.

Gdy $15^\circ < t < 25^\circ \text{C}$, to poprawka wynosi $3,5\%$ na każde 5°C .

A więc gdy gwarantowana temperatura wody chłodzącej wynosi 15°C , to poprawka dla temperatur niższych od gwarantowanych wynosi $1,7\%$ na każde 5°C , dla temperatur wyższych $3,5\%$ na każde 5°C różnicy.

Analogicznie dla gwarantowanej temperatury wody chłodzącej 27°C poprawki wynoszą $1,9\%$ na każde 5°C , gdy $17^\circ < t < 27^\circ \text{C}$ i 4% , gdy $27^\circ < t < 32^\circ \text{C}$.

Porównyując te dane z zestawieniem poprawek vide p. 4 dla wziętego pod uwagę kondensatora, możemy stwierdzić, że poprawki francuskie z nimi się zbiegają.

Popelniają one jednak i tu ustępstwo na korzyść dostawcy, przyjmując dla temperatur niższych od gwarantowanych poprawki dwa razy mniejsze niż dla temperatur wyższych.

Naogół więc poprawki francuskie zbiegają się z teoretycznymi poprzednio wyprowadzonymi, a więc właściwie identyczne są ze wzorem

$$G_{gw} = G_{zm} \frac{\Delta i_{zm}}{\Delta i_{gw}} \cdot \delta$$

a odbiegają od niego przez wprowadzenie współczynników w sposób korzystny dla dostawcy, oraz przez oparcie się na temperaturze wody chłodzącej zamiast na próżni, lecz to ostatnie jest tylko pozorne.

Widzimy więc z powyższego, że sposób francuski przeliczenia ma dostateczne podstawy teoretyczne, a ponieważ jest prosty w użyciu przeto jest godny polecenia.

Jedynie należałoby współczynniki francuskie skorygować w kierunku usunięcia krzywdy odbiorcy, co zawsze jest możliwe na zasadzie porozumienia dostawcy i odbiorcy; pożądanym byłoby, aby korektury były umieszczone od razu już w zamówieniu.

Spółczynniki te łatwo jest określić dla każdego warunków gwarancyjnych, sposób ich wyznaczenia analogiczny jest ze sposobem tworzenia tabel 1, 2, 3, 4, 5.

Oczywiście tej metodzie poprawek można zrobić ten sam zarzut co i wzorowi

$$G_{gw} = G_{zm} \frac{\Delta i_{zm}}{\Delta i_{gw}}$$

t. j. że nie uwzględnia zmiany straty wylotowej, co było powodem wprowadzenia złożonego wzoru 2) wymienionego na początku.

Aby uwolnić się od tego zarzutu możemy przy pomiarach zastosować względnie prosty sposób.

Należy żądać od dostawcy, by oddawał gwarancje w stosunku do temperatury wody chłodzącej w porze letniej ew. dla pory letniej i zimowej.

Przy tej temperaturze, dostawca dla każdego obciążenia winien podać zużycie pary i próżnię w jednostkach ciśnienia.

Próżnia otrzymana w czasie pomiarów, o ile kondensator jest w porządku, będzie lepsza, zwłaszcza jeżeli pomiar odbywa się w innej porze niż w lecie, a wtedy zawsze mamy możność popsuć ją do żądanej wysokości. Da to nam również możność wyeliminowania czynnika c.

Poniżej podajemy tablicę wyników jednego z ostatnich pomiarów gwarancyjnych turbin przeliczonych wg. wzoru 2) i wg. podanego przez nas sposobu współczynników.

Obciążenie	2/4	3/4	4/4	5/4	2/4
$G_{zm} \frac{\Delta i_{zm} \cdot \eta_{zm} - \left(\frac{Ac^2}{2g}\right) zm}{\Delta i_{gw} \cdot \eta_{gw} - \left(\frac{Ac^2}{2g}\right) gw}$	5,30	4,90	4,81	4,90	5,21
Sposób współczynnika	5,35	4,91	4,84	4,90	5,23
Procentowa różnica %	0,19	0,15	0,6	0	0,2

We wzorze:

$$G_{gw} = G_{zm} \delta \frac{\Delta i_{zm}}{\Delta i_{gw}}$$

współczynnik

$$\delta = \frac{\eta_{zm}}{\eta_{gw}} \text{ wyraża zmianę}$$

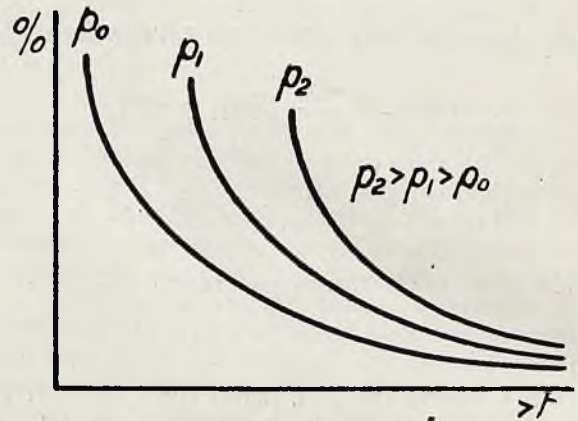
sprawności w funkcji temperatury.

Ustalenia tej zależności należy dokonać na zasadzie porozumienia odbiorcy z dostawcą, w każdym razie pewne dane orientacyjne w tym kierunku są.

Niedawno miałem sposobność oglądania krzywych przeliczonych przez jedną z firm budujących turbiny i podających zależność zmiany sprawności w funkcji ciśnień i temperatur (rys. 8). Firma wyszła z założenia, że dla ciśnień stosowanych do obecnej chwili ta zależność jest znana, że zmiana ta zależy od tego, jaka część spadku adyabatycznego od bywa się w sferze pary nasyconej, od stopnia wilgotności pary. Jeśliby przebieg odbywał się tylko w sferze pary suchej, to zmiana sprawności nie zachodzi. Otóż mając zmianę sprawności w granicach ciśnień i temperatur obecnie stosowanych, możemy ocenić wpływ wilgotności i stąd możemy wnosić jakie

zmiany sprawności będą zachodziły w granicach ciśnień wyższych.

W zasadzie droga powyższa jest słuszna, jednak należy zaznaczyć, że niestety dotychczas brak jest ścisłych badań nad zmianami sprawności w funkcji temperatur nawet w granicach ciśnień dotychczas stosowanych.



Rys. 8

Badania takie mogą przeprowadzić tylko firmy budujące ewentualnie uczelnie wyższe. Winny być one dokonane nad tą samą turbiną przy stałych obciążeniu, ciśnieniu dolutem i odlotowym w funkcji temperatury. Tylko tego rodzaju badania mogą dać odpowiedź miarodajną w tej kwestji.

Zarzut, że sposób francuski jest mało przejrzysty dla konstruktora, czego nie ma, podobno, wzór 2) można odeprzeć zarzutem, że właśnie wzór 2) jest mało przejrzysty dla kierownika ruchu, któremu sposób francuski podaje jasno, że jeśli warunki ruchu jego instalacji wahają się, to każde takie odchylenie odbija się na zużyciu pary o tyle a tyle procent.

Normy odbiorcze są stwarzane dla ruchu a nie dla konstruktora.

Sposób francuski jasno wskazuje, że kierownik ruchu powinien poświęcić baczną uwagę utrzymywaniu stałych ciśnień i temperatur normalnych dla instalacji, a trzeba przyznać, że sprawa ta u nas jest w dużym zaniedbaniu; kwestja regulacji temperatur w wielu zakładach jest tak postawiona, że nawet w czasie pomiarów gwarancyjnych, a więc w czasie, gdy ruch jest sztucznie utrzymywany, utrzymywanie stałej temperatury w ciągu pewnego czasu jest niemożliwe. Wylania się wobec tego zapytanie, czy w takich instalacjach wogóle warto przeprowadzać dokładne pomiary, czy lepiej wprowadzać odrazu pewną tolerancję.

Wreszcie zaznaczamy, że celem niniejszego nie było ustalenie stałych poprawek dla pomiarów, a jedynie wskazanie drogi, w jaki sposób te poprawki można ustalić; poprawki te winny być ustalone od wypadku do wypadku i akceptowane przez obie strony.

Prof. Cz. GRABOWSKI.

ZASADY HYDRAULICZNEJ TEORJI CIĄGU NATURALNEGO

(Por. *Technika Ciepłna*, 1930, str. 125).

Cofnijmy się teraz wstecz i powróćmy do pieców komorowych pierścieniowych dawnych typów, a więc przede wszystkim do pieca Mendheima udoskonalonego według systemu Mangera¹⁾ (rys. 27). W piecu tym



Rys. 27

kierunek naturalny posiadają stygnące gazy spalinowe, co pozornie zawdzięczamy specjalnej przegrodzie, która kieruje gazy pod sklepienie komory. Powietrze w piecu tym płynie w kierunku nienaturalnym, dla tego też zaraz za przegrodą opada w dół i uchodzi słabo ogrzane do komory następnej, a większą część studzonej komory wypełniają prawie nieruchome gorące gazy spalinowe pozostałe w piecu od poprzedniego okresu, w którym w komorze tej płonęło paliwo. Wskutek tego cegła stygnie w piecu powoli i nierównomiernie, a powietrze nie pobiera od cegły dostatecznej ilości ciepła, co powoduje nieprodukcyjny nadmiar zużytego paliwa²⁾.

Spojrzyjmy teraz na rozkład prądów w piecu Mendheima pierwotnego typu, nie posiadającym żadnych przegród³⁾: jest on

niewiele gorszy niż w systemie „Mangera“, lecz różnica ta nie jest tak znaczna, jak na pierwszy rzut oka wydaćby się mogło.

Przez komory, w których cegła stygnie, powietrze przechodzi tylko spodem; natomiast w drugiej połowie pieca, gdzie cegła podgrzewa się i suszy, gorące gazy spalinowe po wejściu do komory od spodu przede wszystkim unoszą się do góry pod sklepienie, a dopiero potem stygnąc opadają w kierunku naturalnym na dno komory, skąd przechodzą bezpośrednio do spodu komory następnej.

Jest to bardzo charakterystyczne zjawisko: *dzięki tendencji do uzyskania naturalnego kierunku, gazy spalinowe nie uchodzą do kominą drogą najkrótszą* (która pozornie wydaćby się mogła drogą najmniejszego oporu), lecz wybierają sobie *drogę okólną* — wielokrotnie dłuższą, którą wyznacza jej prawo ciężkości. Komora świeżo naładowana wypełniona jest zimnym powietrzem. Po włączeniu tej komory do pieca (a więc gdy połączymy ją z kominem), zimne powietrze dążyć będzie do wylotu przez komin opadając w dół, a jego miejsce zastąpić muszą gorące gazy; tak więc gorące gazy znaleźć sobie muszą bezpośrednią najkrótszą drogę pod sklepienie komory, a stąd dopiero podążając za zimnym powietrzem, opadną w dół, oddając swe ciepło cegle¹⁾. Za chwilę prąd gazów ustali się w taki sposób, że gazy o wyższej temperaturze wypychać będą gazy zimniejsze i równocześnie same stygnąć będą.



Rys. 28

¹⁾ „Ingenieurgesellschaft Manger Dresden“. Ullmann t. VIII str. 549 rys. 172. Podobne rysunki czytelnik znajdzie w wyżej cytowanym dziele prof. Gruma-Grzymajły i w broszurze prof. Adamieckiego.

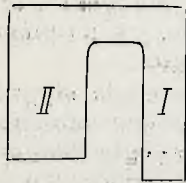
²⁾ Gdyby pokazana na rys 27 przegroda umieszczona była z drugiej strony komory, to powietrze miałoby kierunek naturalny, a gazy spalinowe kierunek nienaturalny. Powstaje zatem pytanie, czy konstruktorzy zdecydowali słusznie, oddając pierwszeństwo gazom spalinowym, a nie powietrzu. Sądzę, że o wyborze tym zdecydowały względy czysto technologiczne: nierównomierne wysuszenie cegły przed wypalaniem (które odbywa się w temperaturze około 1200^o), jest niedopuszczalne, gdyż cegła wilgotna w temperaturze tej bezwzględnie popęka; niedostateczne ostygnięcie cegły przed wyładowaniem jest również niepożądane, ale w każdym razie mniej niebezpieczne. Bliższe studia nad bilansem cieplnym pieca prawdopodobnie doprowadziłyby do wniosku, że i ze względu na regenerację ciepła system wybrany przez konstruktorów firmy „Manger“ również jest bardziej odpowiedni.

³⁾ Ullmann t. XI str. 282, rys. 56. Ost. str. 309. To samo w przekładzie polskim t. I. str. 245-6.

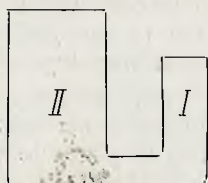
Rys. 27 i 28 (wraz z pokazanymi na nich kierunkami prądów gazowych) wykonane zostały na podstawie odpowiednich rysunków w dziele Gruma-Grzymajły.

¹⁾ Ciepło pobrane od gazów spalinowych przez cegłę surową zużyte zostaje nie tylko na podniesienie temperatury tej cegły, lecz przede wszystkim na odparowanie wody. Gazy spalinowe, oddając swe ciepło, nie tylko obniżają swą temperaturę, lecz również nasycają się parą wodną, która (zgodnie z prawem Avogadry) posiada mniejszy ciężar właściwy niż gazy spalinowe, a więc z powodu spadku temperatury ciężar właściwy gazów ogrzewających wzrasta, a wskutek nasykania się parą H_2O — maleje. Jak zobaczymy w rozdziale następnym, wskutek wysokiego ciepła parowania H_2O spadek temperatury gazów wywiera większy wpływ na ciężar właściwy, niż woda odparowana i w ostatecznym rezultacie ciężar właściwy gazów wzrasta.

Zastępując układem wodnym gazy spalinowe w komorze pieców omawianych systemów, otrzymalibyśmy lewark (na rys. 29 pokazany), który nie tylko sam służyć powinien do pokonania oporów, jakie *na* owej *okólnej drodze* gazy spotykają, lecz nawet powinien nieco wzmacniać ciąg¹⁾; a wtedy (przy odpowiednim doborze wymiarów pieca



Rys. 29



Rys. 30

i szybkości gazów) owa *okólna droga* gazów spalinowych będzie drogą *najmniejszego oporu*.

W zastępczym układzie wodnym przekrój rury I dla pieca Mangera z przegrodą posiada określoną wartość; opory hydrauliczne na tej rurze są minimalne, gdyż odpowiedni kanał w piecu nie jest zapełniony cegłą. W piecu Mendheima bez przegrody przekrój słupa gazów, unoszących się w górę, nie jest przez konstruktora określony; sądzę, że natura sama doбира tę wielkość w taki sposób, by suma oporów, jakie gazy spotykają w komorze była minimalna, lub ściślej mówiąc efekt pracy owego wodnego lewarka był maksymalny²⁾.

¹⁾ Co mogłoby być tematem specjalnych studiów teoretycznych i praktycznych.

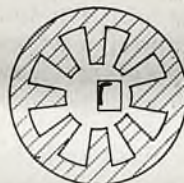
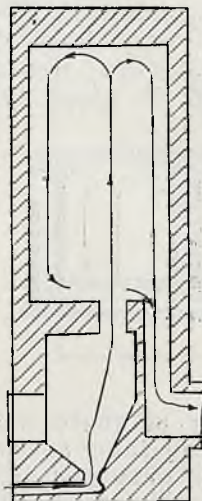
²⁾ W tem ostatniem pojęciu mieścić się powinny i zjawiska cieplne, które zachodzą w komorze.

Gdybyśmy komory połączyli nie spodem (jak na rysunkach 27 i 28), ale górą, to mielibyśmy analogiczne zjawiska w pierwszej części pieca, w której cegła stygnie. Po wejściu do komory zimne powietrze opadałoby w dół (tak samo jak w piecu Mangera opada ono w dół koło przegrody, a następnie ogrzewając się unosiloby się w górę, a więc mielibyśmy znów *okólną drogę* powietrza ogrzewanego. W układzie wodnym dałoby to rurę w kształcie litery U (pokazaną na rys. 30).

Wyżej podane rozważania rzucają światło na zasady, według których piece omawianych systemów powinny być projektowane. Można sobie wyobrazić wypełnienie pieca Mendheima cegłą w taki sposób, że opory hydrauliczne stanowiąc będą zbyt wielką przeszkodę, by gazy spalinowe poszły ową naturalną drogą okólną, a wtedy będą one dążyły do kominą drogą najkrótszą, a więc niedostatecznie ostudzone. W wypadku tym *zbyt gorące gazy* napotkałyby nową przeszkodę w postaci *zmniejszonej sprawności kominą* (patrz rozdz. 4), lub mówiąc popularnie, mogłyby się nie mieścić w normalnym kominie; przeszkoda ta zmusiłaby je do zwrotu z drogi najkrótszej do naturalnej drogi okólnej. Również i gazy zbyt silnie ostudzone obniżają także sprawność kominą, a zatem możliwe są wypadki odchylenia od naturalnej drogi okólnej.

Widzimy więc, że dokładna analiza matematyczna omawianych zjawisk posiadałaby zawiłą postać, która opory hydrauliczne i równania 49 — 51 musiałaby uwzględniać. Są to wszystko tematy do bardzo ciekawych studiów zarówno teoretycznych, jak i praktycznych.

Widzimy więc, że w piecu Mendheima zjawiska cieplne posiadają ten sam ogólny charakter, co i w piecu Mangera, lecz są mniej podporządkowane woli konstruktora i prawdopodobnie wskutek tego opory hydrauliczne w piecu Mendheima są większe niż w piecu Mangera i wypalenie cegły mniej równomierne.



Rys. 31

Naturalne prądy okólne spotykamy nie tylko w piecu Mendheima. W ten sam sposób pracują i piece z płomieniem opadającym (pokazane na rys. 23) nawet wtedy, gdy nie posiadają przegrody, która gazy z paleniska wprowadza do góry pod sklepienie pieca¹⁾. Zjawisko to zupełnie świadomie i celowo wykorzystane zostało w konstrukcji piecyka pokojowego systemu Gruma Grzymajły, którego schemat widzimy na rys. 31; nie posiada on wyraźnego kanału centralnego, jak piecyki prof. Adamieckiego i inż. Kropiwnickiego, lecz prąd centralny powstaje automatycznie z tych samych powodów, co i analogiczny prąd w piecu Mendheima. Z braku odpowiedniego ogrodzenia prąd ten dosyć wyraźnie hamują prądy konwekcyjne gazów ostudzonych²⁾.

Piecyk ten skonstruowany jest do drzewa i jak wogóle piecyki rosyjskie tego typu nie posiada drzwiczek hermetycznych, lecz hermetyczne zamknięcie wylotu do kominą. Zaletą tego piecyka jest to, że w chwili gdy ogień wygasnął, a wylot nie został jeszcze zamknięty, zimne powietrze ostudzi jedynie palenisko i spodem komory piecowej ucieka do kominą. Natomiast w piecykach z kanałami powietrze wprowadzone po ukończeniu

¹⁾ Przykład takiego pieca czytelnik znajdzie w t. XI encyklopedji Ullmanna na rys. 50 (str. 234) na którym owa okólna droga została wyraźnie zaznaczona, aczkolwiek nie jest należyście omówiona w tekście.

²⁾ Opis i bardziej szczegółowe rysunki tego piecyka podane są w rosyjskiej broszurze inż. Podgorodnika: „Piecyki domaszniego obichoda sistemi prof. Grum-Grzymajło”, Moskwa 1929 (Nr. 3 prac państwowego biura konstrukcyj metalurgicznych i cieplnych); w broszurze tej podane są również rysunki i opisy dwóch pieców muflowych — pokojowego i kuchennego

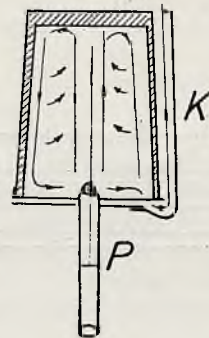
spalania musi przebyć tę samą drogę, co i gazy spalinowe, a więc. ostudzi cały piec¹⁾).

Wreszcie spotykamy w literaturze technicznej piec muflowy systemu Mendheima z nienaturalnym kierunkiem gazów spalinyowych (rys. 33²⁾). W piecu tym gazy płyną z dołu do góry, a więc powietrze posiada kierunek naturalny (studząc muflę II), a gazy spalinowe (podgrzewające muflę IV), kierunek nienaturalny, co chyba jakimiś wyjątkowymi względami usprawiedliwione by być mogło³⁾.

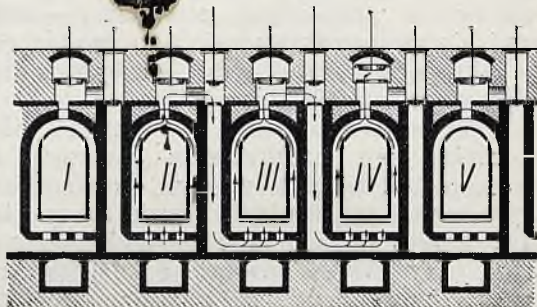
¹⁾ Inż. Podgorodnik opisuje bardzo proste doświadczenie, które ilustruje zjawiska w piecyku Gruma-Grzymajły (a więc potwierdza prawo naturalnych prądów okólnych). Przewróćmy szklanę dnem do góry i zakryjmy ją od spodu dnem papierowym; z dna tego wyprowadźmy rurkę *K* jako komin (rys. 32). Jeżeli teraz do otworu w dnie papierowym wprowadzimy dym z papierosa *P*, to uniesie się on najprzód do góry, a potem opadnie na dół, skąd ujdzie przez rurkę *K*.

²⁾ E. S. Aucher et C. Quillard, Technologie de la céramique. 1901 str. 209.

³⁾ Według zasady pieców pierścieniowych gotowy towar zostaje usuwany z muflki I, a do muflki V ładujemy towar surowy; muflka III znajduje się w palenisku gazowym. Po pewnym czasie palenisko przechodimy do komory IV, gazy stygnące podgrzewają muflę V, a powietrze zimne wprowadzamy do komory III itd.



Rys. 32



Rys. 33

(d. c. n.).

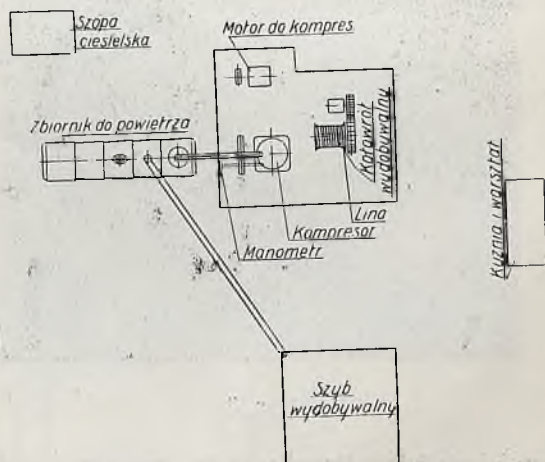
EKSPLOZJE APARATÓW PRACUJĄCYCH POD CIŚNIENIEM

WYBUCH ZBIORNIKA ZE SPRĘŻONEM POWIETRZEM.

(Pierwszy wypadek 1930 r.).

W dniu 31 marca r. b. o godzinie drugiej nad ranem na kopalni węgla „Wiktorja“ w Gołonogu w Zagłębiu Dąbrowskim zaszedł wypadek eksplozji zbiornika ze sprężonym powietrzem, powodując ciężkie poranienie jednego człowieka z obsługi. Szkody materialne nie były duże, a to dzięki temu, że zbiornik ten znajdował się w miejscu otwartym, a w pobliżu nie było żadnych zabudowań.

Jak z planu sytuacyjnego wynika (rys. 1) tuż obok wykonywanego szybu kopalni znajduje się szopa zrobiona z desek, w której umieszczony jest motor elektryczny do napędu liny, a następnie kompresor, również napędzany motorem elektrycznym. Sprężone powietrze do wysokości około 6 atn wtłaczał kompresor do zbiornika, który był ustawiony tuż obok drewnianej szopy.

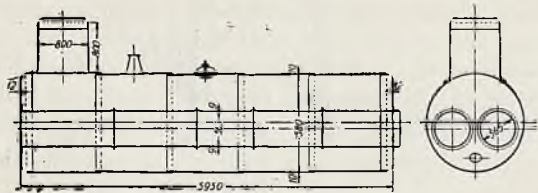


Rys. 1

W pobliżu zbiornika znajdował się jeszcze mały barak z desek, w którym mieścił się podręczny warsztat.

Zniszczony wybuchem zbiornik — to stary dwupłomienicowy kocioł parowy (rys. 2).

Zbiornik ten miał pracować na ciśnieniu 6 *atn*. Ciśnienie przy którym nastąpił wy-



Rys. 2

buch nie jest znane. Ponieważ wybuch nastąpił w czasie pracy kompresora, a podczas przerwy w pobieraniu powietrza, — trzeba liczyć się ze wzrostem ciśnienia ponad przyjęte jako dopuszczalne, gdyż nie było żadnych urządzeń zabezpieczających.

Zbiornik ten nie był przez nikogo w czasie jego użytkowania badany i stan jego nie był wogóle znany. Przed ewentualnym wzrostem ciśnienia powietrza w zbiorniku, czy to na wypadek zepsucia się manometru, czy braku uwagi i ostrożności ze strony obsługi, czy też z nieprzewidzianych innych przyczyn, zbiornik nie był zabezpieczony, gdyż nie posiadał zaworu bezpieczeństwa.

Badając zbiornik po wybuchu okazało się, że stan blach był w jaknajgorszym stanie: blachy płaszczą i płomienic powyżerane, płaskie denka w wyobleniach (krempach) popękane. W dnie tylnem o grubości około 12 *mm*, wykonanem z żelaza pudlarskiego, pęknięcie w wyobleniu biegło prawie na ca-

dawne. Aby wzmocnić te naderwane miejsca dano onego czasu skośną kotwę (rys. 3), która jednak została w międzyczasie tak zżarta, że w dzisiejszym stanie z dnem nie była już zupełnie połączona. Mimo poważnych naderwań duże wzmocnienie dna stanowiły płomienice.

Do dalszych w groźnym stanie będących części zaliczyć należy lewą płomienicę, posiadającą takie wyżarcie, że w najłabszych miejscach grubość blachy wynosiła zaledwie 1 *mm*.

I te najłabsze miejsca zbiornika odstąpił wybuch: denko tylne wyrwane ze zbiornika po linii pęknięć (rys. 3) zostało rozzerwane, a kawałki z niego zostały porzucane na odległości kilkudziesięciu metrów, lewa płomienica spłaszczona i rozdarta (rys. 4)



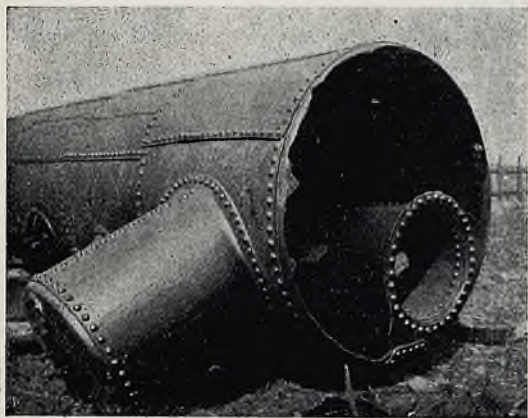
Rys. 4

siłą wybuchu została wyrzucona na ścianę szopy i fundament kompresora, łamiąc wieńiec koła przy kompresorze. Sam walczyk, jak również przednie dno nie zostały zniszczone, lecz cały zbiornik o kilka metrów został odrzucony. W szopie, w której mieści się kompresor i napęd liny, powyrywało deski.

Na podstawie badania stanu blach zbiornika po wypadku należy zaznaczyć, że opisany zbiornik zupełnie się nie nadawał do pracy jako zbiornik na sprężone powietrze i to na ciśnienie 6 *atn*, o ile miał czynić zadość najniezbędniejszym warunkom bezpieczeństwa. Gdy więc mowa o przypuszczalnej przyczynie wybuchu, to przede wszystkim wchodzi tu w rachubę zupełnie zły stan zbiornika, jak również brak zaworów bezpieczeństwa, któreby nie dopuszczały do nadmiernego wzrostu ciśnienia ponad określone, a któreby zarazem ostrzegały obsługę na wypadek już nieznacznego przekroczenia najwyższego dopuszczalnego ciśnienia.

Przy tej okazji nasuwają się pewne uwagi ogólne.

Zbiorniki na sprężone powietrze (jak wogóle naczynia pod ciśnieniem za wyjątkiem



Rys. 3

łym obwodzie. Pęknięcie to, zresztą o różnej głębokości, w części górnej było największe i przechodziło prawie przez całą grubość blachy. Wskutek tych pęknięć na wyobleniu prawdopodobnie zbiornik w tych miejscach przepuszczał i był nieuszczelny, czemu chciano zapobiec przez danie łąty na wyobleniu (widocznej na rys. 3). Początki tego pęknięcia były prawdopodobnie już dosyć

kotłów parowych) nie podlegają żadnemu urzędowemu dozorowi, pomimo, że wybuch ich jest nie mniej w skutkach groźny, jak kotłów parowych. Bardzo często jako zbiorniki sprężonego powietrza używa się stare zniszczone kotły parowe.

Przed dopuszczeniem zbiornika do pracy jedynie ostrożniejsi poddają go próbie wodnej na ciśnienie dowolne. Rewizji wewnętrznej i szczegółowych oględzin zbiornika w zasadzie nikt nie dokonuje.

To też niejednokrotnie ustawione zbiorniki są w tak złym stanie, że ze względu na najkonieczniejsze warunki bezpieczeństwa do pracy wogóle dopuszczone być nie powinny.

O periodycznych badaniach stanu blach niema mowy. Brak urzędowego dozoru powoduje, że niebezpieczeństw wybuchu się nie docenia, często zresztą nieświadomie i nie stosuje się koniecznych środków i urządzeń bezpieczeństwa.

Można więc powiedzieć, że jedną z najważniejszych przyczyn wybuchów naczyń i zbiorników pod ciśnieniem — jest brak nad nimi urzędowego dozoru.

R. M.

WYBUCH PŁYTY DO PRASY.

(Drugi wypadek w 1930 r.).

W dniu 8 marca r. b. w jednej w wytwórni dykt w powiecie Warszawskim podczas próby parą nowodostarczonej płyty do prasy, nastąpił wybuch. Dwie osoby poniosły śmierć, dwie lżejsze obrażenia ciała.

Płyta przedstawiona na rys. 1 przeznaczona była do ogrzewania dykt podczas ich

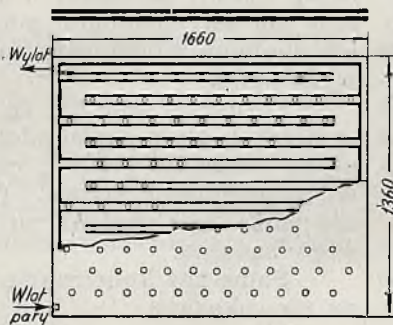
węża. W górnej części płyty umieszczono manometr oraz kranik do wypuszczania powietrza względnie wody skroplonej.

W chwili wypadku, według słów palacza będącego przy kotle parowym, manometr kotłowy wskazywał prężność $6,2 \text{ atn}$; przy płycie znajdowały się cztery osoby, z których jeden robotnik z lewej strony w pozycji kłęczącej u wentyla wpustowego regulował dopływ pary do płyty, drugi obok stał bezpośrednio przy płycie. Z prawej strony płyty znajdowali się mechanik oraz krewny właściciela fabryki.

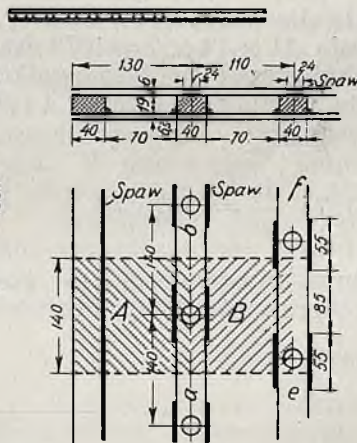
Jeden ze świadków wypadku podaje, że w chwili gdy regulujący dopływ pary robotnik wypowiedział słowa „przechodzi 5 atn “ nastąpił wybuch. Płyta została rozerwana (rozwarła) i odrzucona na odległość 2 metrów od ściany, uderzając poprzednio o ochronę tłoczyska maszyny parowej. Dwu robotników (oznaczonych na rysunku 3 „X“) znajdujących się przy płycie, siłą wybuchu zostało odrzuconych: jeden na odległość 7 metrów, drugi na odległość 10 metrów. Wskutek ciężkich obrażeń ciała jeden z nich zmarł w dniu wypadku drugi zaś dnia następnego.

Mechanik stojący z prawej strony płyty został wyrzucony przez drzwi nazewnątrz raniąc rękę o futrynę drzwi, druga zaś osoba stojąca obok została odrzucona do ściany nie odnosząc poważniejszych obrażeń.

Płyta przedstawiona na rysunku 1 składała się z dwóch blach o grubości 6 i $6,5 \text{ mm}$, oddzielonych przegródkami z taśmowników o przekroju $40 \times 19 \text{ mm}$, tworząc w ten sposób kanały dla nadania odpowiedniego obiegu pary; przegródki te jednocześnie służyły usztywnieniem ścian płaskich płyty. Połączenia były wykonane wyłącznie zapomocą



Rys. 1

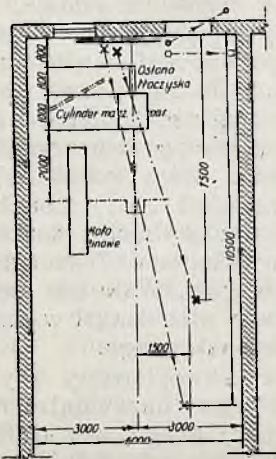
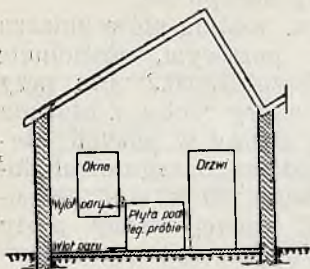


Rys. 2

sklejania na prasie hydraulicznej; w celu wypróbowania szczelności została ustawiona przez mechanika w maszynowni pod ścianą w pozycji stojącej i połączona na samym dole z przewodem parowym za pomocą giętkiego

spawu elektrycznego w ten sposób, że taśmowniki były miejscami przyszwesowane do dolnej blachy, następnie po nałożeniu górnej zaopatrzonej w otwory o średnicy 24 mm rozmieszczone nad taśmownikami w odstępie

140 mm, otwory zostały zalane elektrycznie, tworząc rodzaj nitów. Płyta była przeznaczona do pracy przy ciśnieniu wewnętrznym pary do 7 atn i wypróbowana ciśnieniem wodnym przez dostawcę na ciśnienie 10 atn — jak świadczy pismo dostawcy.



Rys. 3

Siłą wybuchu płyta została rozrwana.

Spaw zewnętrzny został rozerwany na $\frac{3}{4}$ obwodu, przyczem prawie wszystkie taśmowniki zostały oderwane w miejscu dolnego spawu (połączenia z dolną blachą) gdyż tylko na długości $\frac{1}{2} + \frac{1}{2} + \frac{3}{4}$ taśmownika spaw dolny nie został rozerwany, zostało zaś rozerwane połączenie taśmowników z górną blachą (nity).

Prawdopodobnie pewna ilość skroplin (kondensatu) znajdująca się w chwili wybuchu w płycie dzięki wskazanemu dolnemu połączeniu płyty z parowym przewodem powiększyła efekt wybuchu.

W cyfrach wytrzymałość płyty przedstawia się w sposób następujący.

Przy ciśnieniu pary 7 atn, na element powierzchni A działa siła $13 \times 14 \times 7 = 1274$ kg, na powierzchni B siła $11 \times 14 \times 7 = 1078$ kg. Stąd na powierzchnię szwejsu taśmownika a—b odnośnie do obciążenia powierzchni A i B przypada siła rozrywająca

$$1078 \frac{1}{2} + 1274 \frac{1}{2} = 1176 \text{ kg.}$$

Siła ta rozłożona równomiernie na powierzchnię spawu przy średniej długości

55 mm oraz 5 mm szerokości wywołuje naprężenie

$$\begin{aligned} \text{na } 1 \text{ cm}^2 &= \frac{1176}{5,5 \times 2 \times 0,5} = \frac{1176}{5,5} = \\ &= 213,8 = \sim 214 \text{ kg/cm}^2 \end{aligned}$$

W nicie dla tego samego elementu wypadła:

powierzchnia spawu pozioma

$$\frac{\pi \cdot 2,4^2}{4} = 4,52 \text{ cm}^2;$$

boczna $\pi \times 2,4 \times 0,6 = 4,52 \text{ cm}^2$

obciążenie 1 cm² nita w płaszczyźnie poziomej lub bocznej

$$\frac{1176}{4,52} = 260 \text{ kg/cm}^2.$$

Powyższe obciążenia są najwyższe i dotyczą powierzchni obrzeżnych. Obciążenia spawu w środkowej części płyty przyjmując siłę działającą na powierzchni B jak wskazano wyżej $11 \times 14 \times 7 = 1078$ kg otrzymujemy naprężenia w spawie ef.

$$\frac{1078}{5,5 \times 2 \times 0,5} = \frac{1078}{5,5} = 196 \text{ kg/cm}^2$$

a w nicie $\frac{1078}{4,52} = 238 \text{ kg/cm}^2$

Jak wynika z przeliczenia przy ciśnieniu pary 7 atn obciążenie spawu nie było znaczne.

Zaznaczyć należy, że w danym wypadku wystarczyło aby w którymkolwiek miejscu część spawu zawiodła i obciążenie, przenosząc się na sąsiednie połączenia, rozerwało ich spojenie nawet przy zupełnie dobrym jego wykonaniu.

Zaznaczyć należy, że w wielu miejscach w których spaw został oderwany powierzchnia styku pozostała gładka, co wskazywałoby na słabe połączenie spawu. Ostateczne orzeczenie może być wydane po dokonaniu specjalnego badania.

Samą zaś konstrukcję płyty należy uznać za niewskazaną.

W. Ż.

BILANS TECHNICZNY 1928 ROKU

Por. *Technika Ciepła* 1930, str. 62.

6. Pokrywanie szczytów.

Sprawa szczytów stanowi zawsze poważne zagadnienie przy wytwarzaniu energii.

a) Łączenie wzajemne ze sobą sieci.

Najlepsze wyrównanie jest osiągnięte przez połączenie ze sobą sieci o różnym charakterze obciążeń, dostarczających prąd do oświetlenia, siły, ogrzewania domowego, ogrzewania przemysłowego oraz trakcji.

Ten system jest obecnie stosowany wszędzie. Stanowi on podstawę elektryfikacji w Stanach Zjednoczonych, Wielkiej Brytanji i innych krajach. Jednakże ani łączenie wzajemne elektrowni, ani nowe systemy taryfikacji nie przyniosły tej pomocy, jakiej się spodziewano i obecnie są stosowane jeszcze inne metody postępowania.

b) Zasobniki parowe.

Zasobniki Ruth'a cieszą się dużym powodzeniem szczególnie w Niemczech.

Elektrownie Hamburg—Bernbeck, Mittelsteine, Altona, Lipsk Północny, Phorzeim i Lungwitz przyjęły zasobnik Ruth'a do przechodzenia poprzez szczyty.

Stosowane są również turbo-prądnice, skombinowane z zasobnikiem Ruth'a i z kotłami elektrycznymi.

Od pewnego czasu inny typ zasobnika t. zw. „o stałym ciśnieniu“ uzyskał pewien rozgłos.

c) Silniki Dyzla.

W pewnych wypadkach są stosowane duże silniki Dyzla.

Np. elektrownia Henningsdorf posiada ich dwa po 8250 kW.

W Ameryce jako silniki Dyzla ustawione w 1928 roku do pokrywania szczytów, można przytoczyć silniki elektrowni w Tucson (4000 KP) oraz silniki elektrowni rezerwowej kanału Panamskiego.

d) Zasobniki wodne.

Stacje pomp do gromadzenia wody w sztucznych zbiornikach na stosunkowo dużej wysokości były przyjęte w szeregu wypadków. W szczególności w Niemczech zaprowadzone zostaje w chwili obecnej tego rodzaju urządzenia w Niederwartha w pobliżu Drezna i w Herdecke w okręgu Ruhr.

W tych urządzeniach, należących do Rheinisch-Westfälische Elektrizitätswerke oraz do Sächsische Werke, zbieranie zasobów odbywa się za pomocą energii węgla (V.D.I.).

Instalacje pompowe, pracujące wspólnie z zakładami wodno-elektrycznymi, były już ustawiane w różnych miejscach. Instalacja tego rodzaju w elektrowni Zeitrachwerk została wykończona w ciągu ubiegłego roku. Druga jest w budowie w Hemfwith. Należy zaznaczyć, iż instalacje te pracują przy stosunkowo niewielkiej wysokości spadku od 24 do 41 m.

W Niederwartha będą zainstalowane najprzód 4 zespoły. Różnica poziomów wynosi 140 m. W Herdecke zespoły są większe. Przy pełnym obciążeniu 4 ustawione turbiny rozwiją moc 180 000 KM.

Przejście od pracy z turbinami do pracy z pompami odbywa się samoczynnie pod działaniem przesuwalnego urządzenia sterowniczego. Sprawność ogólna urządzenia akumulacyjnego jest zawarta pomiędzy 60 a 65%. Pierwsza instalacja tego rodzaju, zbudowana w Niemczech, miała sprawność, wynoszącą wszystkiego 49%.

7. Rozdzielanie.

Szyny zbiorcze, otrzymujące prąd od maszyn prądu zmiennego są zaopatrzone w przegrody fazami. Włączniki są umieszczone w oddzielnych kotłach i fazy są również oddzielone przegrodami. Zbudowano wyłączniki do przerywania prądu o sile 5000 do 5500 amperów przy napięciu 11000 do 13000 woltów. Zaburzeniom, których powodem stają się niekiedy te przyrządy, winien bywa naogół olej (R.G.E.).

Przewody do przesyłania energii w Stanach Zjednoczonych są prądu trójfazowego o częstotliwości 50 okr./sek. Napięcia przesyłowe dochodzą do 220000 V dla przewodów napowietrznych i 132000 woltów podziemnych. W przewodach rozdzielczych napięcia są odpowiednio 30000 woltów i 6000 woltów.

Oświetlenie jest obsługiwane przewodami jednofazowymi przy 110 V, silniki pracują na liniach wielofazowych, duże — przy 440 woltach, pozostałe przy 220 woltach.

8. Elektryfikacja.

Korzyści, które elektryczność zapewnia przemysłowi, spowodowały szybki wzrost odsetka elektryfikacji tego ostatniego.

W Stanach Zjednoczonych ogólny odsetek zelektryfikowania przemysłu, w ciągu roku 1928 doszedł do 74,4% może jednak być ciekawym zbadanie stopnia rozwoju elektryfikacji niezależnie w każdej gałęzi przemysłu. Przy przeprowadzeniu odpowiedniego przeglądu, można stwierdzić, iż przemysł cera-

miczny jest tym, gdzie elektryfikacja została najczynniej posuwana naprzód. Sięga ona w jego obrębie wysokości 83%.

Przemysł metalurgiczny również wzmożnił użycie silnika elektrycznego i zajmuje drugie miejsce z punktu widzenia elektryfikacji z odsetkiem 85%.

Dalej idą przemysł włókienniczy z 71% elektryfikacji, papierowy i masy papierowej z 68%, chemiczny z 67% i drzewny z 52%.

Ciekawe jest zauważyć, iż 10 lat temu na czele innych przemysłów pod względem elektryfikacji szedł przemysł metalurgiczny przyczem jednak stopień zelektryfikowania wynosił wówczas wszystkiego 17%. Z drugiej strony, można zauważyć, iż od r. 1914 moc zelektryfikowana w przemyśle wzrosła z 3897248 KM do 18584256 KM w r. 1927, co oznacza wzrost wynoszący ponad 378% w ciągu tego okresu (Power).

9. Wymiana energii.

a) Sieci.

Wymiana energii, zarówno jak też i pokrywanie szczytów oraz rozdzielanie energii na małych i wielkich odległościach są na porządku dziennym.

W Stanach Zjednoczonych A. P., gdzie połączenie wzajemne elektrowni zostało b. daleko posunięte, wielkie miasta są zasilane „ponad elektrowniami“, położonemi w pobliskich miejscowościach na brzegach rzeki czy jeziora lub w zagłębiu węglowem. Z tych elektrowni wychodzą przewody wymienne, tworząc obszerną sieć połączeń wzajemnych. Do przewodów napowietrznych stosowane jest naogół napięcie 220 000 woltów. Wewnątrz miast są układane kable podziemne, które świeżo zaczęły być budowane na napięcia, dochodzące do 132 kV, i które poprowadzają prąd w postaci prądu trójfazowego o częstotliwości 25 i 50 okr./sek. do podstacji, gdzie jest on przetwarzany na prąd stały. We Francji można wskazać sieć okolicy paryskiej. Trzy elektrownie ciepłne, zainstalowane w północnej części miasta, mają moc ogólną 500 000 kW, do której dołączyła się nowa elektrownia ciepłna w Vitry o 400 000 kW mocy. Należy zaznaczyć, iż elektrownia Golpa jest obecnie ze swej strony połączona z zakładem Klingenberg (Rummelsburg) w Berlinie. Połączenia napowietrzne zostały wykonane do pracy na napięcie 110 000 woltów.

W wielkich sieciach okręgowych i „ponad — elektrowniach“ jest stosowany system load-dispatching.

Operacje, potrzebne do eksploatacji sieci, połączonych ze sobą, są wykonywane przez urzędnika — dispatcher'a, który jest w każdej chwili poinformowany co do stanu

sieci z punktu widzenia położenia wyłączników oraz energii, zużywanej i wytwarzanej.

Ruchy wyłączników są samoczynnie odtwarzane na tablicy kontrolującej i urzędnik stojący na czele tego działu ruchu przesyła zarządzenia poszczególnym elektrowniom zapomocą telefonu, czy też sygnałów.

W ten sposób zapomocą urządzeń sterowniczych, działających na wielkie odległości jest się w sposób ciągły utrzymywany w stanie poinformowanym o warunkach ruchu wszystkich maszyn różnych elektrowni, połączonych ze sobą,

5 wielkich elektrowni o mocy ogólnej 925 000 kW i szereg zakładów drobniejszych o łącznej mocy 83 000 kW są kierowane zapomocą urządzenia tego rodzaju na sieci New York Edison Company.

b) Nowe przewody.

We Francji towarzystwa kolejowe Compagnie des Chemins de Fer du Midi, P. L. M. i P. O. prowadzą nadal elektryfikację swych sieci i uruchamiają nowe przewody o napięciu 150 kV. Można również wspomnieć o budowie przewodu Paryż — Caen o napięciu 70 kV, godnego uwagi ze względu na zastosowane materiały.

Przytoczyć również należy przewody o napięciu 90/150 kV, służące do połączenia okręgu paryskiego z elektrownią wody w Eguzon o 300 km na południe, w Centralnym Masywie.

W Angli rozpoczęte jest urzeczywistnienie sieci łącznikowej, mającej pokryć cały kraj. Dla przewodów napowietrznych przewidziane jest napięcie 132 kV.

We Włoszech jest w budowie przewód na słupach z betonu centryfugowanego zaprojektowany do pracy na napięcie 200 kV.

W Stanach Zjednoczonych został wybudowany nowy przewód o napięciu 220 kV dla grupy Conowingo.

W Belgii dokonano połączenia pomiędzy pierwszą elektrownią wodną w la Sermi (przy Beverce) a elektrowniami ciepłnemi Linalux z zagłębia Leodjum zapomocą przewodu napowietrzego o napięciu 70 kV i o zdolności przesyłowej 20 000 kW.

Zaprojektowanie i dozór nad budową tych przewodów były powierzone B. E. I. Courtoy w Brukseli.

10. Elektrownie samoczynne.

Uruchomiono w Stanach Zjednoczonych A. P., w pobliżu Louisville elektrownię wodną o mocy 100 000 kW o sterownictwie samoczynnem. Jest to największa elektrownia wodna o sterownictwie samoczynnem w Ameryce. Elektrownia zawiera 8 prądnic prądu zmiennego

o prostopadłym wale po 12 550 kVA; jej rozprężalna zabudowana przestrzeń wystarcza na dostawienie jeszcze później 2 dalszych podobnych zespołów. Zwykłą tablicę rozdzielczą zastępują tu małe tabliczki w skrzynkach, umieszczonych obok każdej prądniczy i zawierających przekaźniki do rozruchu i wstrzymania ruchu maszyn.

Poza oszczędnością co po zapotrzebowa-

nego miejsca i w początkowych kosztach inwestycyjnych urządzenie samoczynne znacznie obniża ilość potrzebnego personelu oraz zwalnia ten personel ze wszelkiej pracy mechanicznej, nawet o ile chodzi o czynności naglące. Personel składa się jedynie z dwóch osób, jednej — związanej z dozorem przyrządów sterowniczych, i drugiej — której jest powierzono utrzymanie maszyn (S. E. M.).

Sprawozdanie z Walnego Zgromadzenia Stowarzyszenia dla Rozwoju Spawania i Cięcia Metali w Polsce

W dniu 21 marca r. b. w lokalu Stowarzyszenia Techników odbyło się walne Zgromadzenie Stowarzyszenia dla Rozwoju Spawania i Cięcia Metali w Polsce pod przewodnictwem Prezesa Stowarzyszenia p. dr. A. Sznerra.

Porządek dzienny obejmował sprawozdanie z dotychczasowej działalności, udzielenie absolutorjum Zarządowi, wybór nowego Zarządu i wolne wnioski.

Stowarzyszenie założone początkowo pod nazwą Związku Polskiego Przemysłu Acetylenowego i Tlenowego istnieje od września 1927 r. Członkami Stowarzyszenia są wytwórnie wytwarzające gazy do spawania i instalacje, jak również wytwórnie stosujące spawanie i cięcie metali, oraz ogół techników polskich, pracujących w tej dziedzinie. Stowarzyszenie należy do Międzynarodowego Związku Acetylenu i Spawania i bierze udział w pracach tego Związku. Głównym zadaniem Stowarzyszenia jest popieranie rozwoju przemysłu acetylenowego i spawania przez:

- a) rzeczoznawczy nadzór nad instalacjami i składami acetylenowemi,
- b) wypracowanie jednolitych przepisów dla montowania i używania wytwornic acetylenowych i składów karbidu,
- c) badanie i ocena typów wytwornic do acetylenu, wchodzących w skład urządzeń zakładów do spawania, ogrzewania i oświetlania acetylenowego,
- d) badanie eksplozji i innych wypadków z instalacjami acetylenowemi,
- e) zakładanie i popieranie fachowych szkół i kursów spawania,
- f) wydawanie fachowego czasopisma i różnych prac z dziedziny techniki acetylenu i tlenu

Cele które Stowarzyszenie zakresliło sobie przy założeniu są wypełniane w miarę możliwości, a mianowicie:

1. Kontrola.

Na Górnym Śląsku, gdzie obowiązuje dawne ustawodawstwo niemieckie badanie i kontrolę instalacji acetylenowych wykonywa Stowarzyszenie z ramienia władz przemysłowych. W innych dzielnicach tego rodzaju ekspertyzy Stowarzyszenie przeprowadza na żądanie wytwórni, delegując inżynierów specjalistów, którzy posiadają wieloletnią praktykę w tej dziedzinie.

2. Prawodawstwo.

Mając na celu zgromadzenie potrzebnego materiału do opracowania polskich przepisów, Stowarzyszenie zebrało i przełożyło na język polski szereg przepisów obowiązujących w innych krajach i wydrukowało je w swoim organie „Spawanie i Cięcie Metali”. Dalej Stowarzyszenie współdziałało z Komisją Normalizującą przy opracowaniu norm spawania przy budowie i naprawie kotłów, jak również współpracuje obecnie z Ministerstwem Przemysłu i Handlu nad ustaleniem jednolitych przepisów dla całego Państwa.

3. Badanie wypadków.

W razie ujawnienia nieszczęśliwych wypadków z instalacjami acetylenowemi Stowarzyszenie deleguje natychmiast swoich rzeczoznawców, którzy ustalają przyczyny wypadków. Badania te będą cennym materiałem przy układaniu przepisów bezpieczeństwa.

4. Szkolnictwo.

W dziedzinie szkolenia spawaczy Stowarzyszenie rozwinęło jaknajżywszą działalność. W ciągu dwuletniej swej pracy Stowarzyszenie dostarczyło przemysłowi blisko 1000 wykwalifikowanych spawaczy. Stałe kursy spawania istnieją w Warszawie, Katowicach, Lwowie, Łodzi i Poznaniu. Poza tem Stowarzyszenie urządza lotne kursy, które dotychczas miały miejsce we Lwowie, Bielsku, Krakowie i Starachowicach. Ogólna ilość odbytych kursów wynosi 32. Stowarzyszenie zorganizowało również wyższe kursy w celu kształcenia inżynierów i techników spawalniczych. Ostatnio odbył się taki kurs w Katowicach na którym wykładał słynny specjalista szwajcarski prof. Keel.

5. Wydawnictwa.

Stowarzyszenie wydaje miesięcznik „Spawanie i Cięcie Metali”, prócz tego nakładem Stowarzyszenia wydano „Podręcznik Spawania i Cięcia Metali przy pomocy płomienia acetylenowego i tlenowego”, pióra dr. Sznerra, oraz wkrótce opuści prasę „Podręcznik Spawacza” dla użytku rzemieślników spawaczy.

6. Współpraca z przemysłem.

W celu współpracy z firmami stosującymi spawanie, Stowarzyszenie opracowało projekty, które były

rozesłane poszczególnym firmom. W prospektach tych Stowarzyszenie wyraża swoją gotowość współpracy przez bezinteresowne udzielanie fachowych porad, dotyczących się instalacji, przepisów, należytej organizacji, kontroli, kalkulacji i t. p. Dyrektor Stowarzyszenia jest zaprzysiężony jako rzeczoznawca urzędów do spawania i prac spawalnych.

7. Laboratorjum.

Sprawa zakładania laboratorjów do badań połączeń spawanych jest jednym z najważniejszych celów Stowarzyszenia. Pierwszy krok w tym kierunku został już uczyniony, mianowicie pozyskano poparcie Państwowych Zakładów Technicznych w Katowicach, które razem ze Stowarzyszeniem ma takie laboratorjum ufundować. Laboratorjum to mieściłoby się narazie przy biurach Stowarzyszenia i przeszłoby w przyszłości do Polskich Zakładów Technicznych. W tym celu Województwo zgodziło się wyasygnować kwotę zł. 6.000 na urządzenia laboratoryjne, względnie pomoc szkolną dla nauki spawania. Laboratorjum posiadałoby:

- 1) urządzenia do badania mikro i makrostruktury z przyrządem do mikrofotografii,
- 2) urządzenia do badania szwu metodą elektromagnetyczną,
- 3) maszynę do badania wytrzymałości na rozciąganie i badanie twardości,
- 4) aparat kinematograficzny projekcyjny.

8. Udział Stowarzyszenia w organizacjach Międzynarodowych.

Stowarzyszenie należy do Międzynarodowej Komisji Acetyleny i Spawania i wysyła swoich delegatów

na posiedzenia, biorąc czynny udział w pracach komisji, śledząc pilnie postęp i rozwój spawania na terenie międzynarodowym.

W r. b. dr. Sznerr, prezes Stowarzyszenia uczestniczył w IX Posiedzeniu Komisji w Wiedniu i został wybrany do Komisji Organizacyjnej X Kongresu Międzynarodowego.

Po przyjęciu sprawozdania do wiadomości i zatwierdzeniu sprawozdania bilansowego i budżetu na rok przyszły, przystąpiono do wyboru nowego Zarządu.

Do Zarządu zostali wybrani pp. dr. A. Sznerr, dyr. firmy „Perun“, dyr. Postułka, [dyr. Krasnodębski, dyr. Domański, dyr. Amman, dyr. Stankiewicz, dyr. Stattler.

Tegoż dnia wieczorem odbył się wieczór odczytowy i dyskusyjny na normalnym zebraniu Stow. Techników.

Słowo wstępne wypowiedział prof. Radziszewski, w którym zaznajomił pokrótce słuchaczy z celami i działalnością Stowarzyszenia, poczem wygłoszone referaty następujące:

Prof. Stefan Bryła „Zastosowanie spawania w budownictwie i mostownictwie“,

Dr. A. Sznerr „Nakładanie ołowiem blach żelaznych“.

Inż. P. Tułacz „O nowoczesnych metodach badania spoin“,

Dyr. Bernshtein „Energja w technice spawania“.

Po referatach odbyła się żywa dyskusja zakończona wyrażeniem Stowarzyszeniu przez prof. Radziszewskiego życzeń owocnej pracy i jak największego rozwoju.

NOWE WYDAWNICTWA

NOWE WYDAWNICTWA

J. Biernacki i Nadolski. Podręcznik spawacza. Warszawa, 1930. Nakładem Stowarzyszenia dla Rozwoju i Cięcia Metali w Polsce.

B. M. Konorski. Hilfsbuch für Betriebsberechnungen. Mit besonderer Berücksichtigung nomographischer Methoden. Berlin. 1930. Julius Springer.

W. Łoskiewicz. Cementowanie miedzi, srebra i złota berylem, krzemem i borem. Dąbrowa Górnicza. 1929. Odbitka z *Przeglądu Górniczo-Hutniczego.*

Dr. A. Przedborski. Wykłady mechaniki teoretycznej. Tom I. Zasady teorii wektorów. Kinematyka punktu i ciał sztywnych. Warszawa. 1930. Kasa imienia Mianowskiego.

M. Wójcicki. Ogrzewnictwo. Podręcznik dla budowniczych i budujących. Warszawa. Trzaska, Evert i Michalski.

Wodne centralne ogrzewanie mieszkaniowe. Łódź. 1929. St. Weigt i S-ka.

PRZEGLĄD WYTWÓRCZOŚCI

Doświadczenia z ekonomizerami z rur żeberowych.

Od dwudziestu lat zagranicą szeroko stosuje w instalacjach parowych ekonomizery z rur żeberowych, odznaczające się taniością, dużym bezpieczeństwem ruchu przy wysokim ciśnieniu i małym zapotrzebowaniu miejsca, przy czem osiąga się znaczne oszczędności paliwa.

W ostatnich latach przemysł nasz przeszedł, ze względów oszczędnościowych, na opalanie kotłów parowych pospółką i miałem węglowym, przy czem jednak okazało się, że znaczna ilość lotnych, niespalonych cząstek, zawartych w gazach spalinowych, ujemnie oddziaływa na prawidłowość ruchu ekonomizerów. Okoliczność ta w wielu wypadkach zraziła przemysłowców do stosowania ekonomizerów w swoich instalacjach.

Nierzadko się zdarzało, że z powodu zanieczyszczenia temi lotnymi cząstkami całej okolicy, odpowiednie władze zmuszone były interwenjować i zmusić przemysłowca do stosowania specjalnych oddzielaczy cząstek lotnych, w rodzaju obszernych i drogiej komór, przy czem niezawsze osiągnano zamierzony cel. Włożony kapitał nie amortyzował się, ponieważ podobne urządzenia żadnych oszczędności na paliwie nie dają.

Przy stosowaniu nowoczesnych ekonomizerów z rur żeberowych wymienione wyżej niedokładności są zupełnie wykluczone.

Rury żeberowe o wewnętrznej średnicy 65 mm, z talerzowymi żebrami o odstępach 20 mm, rozmieszczone są w formie szachownicy, wytwarzając w ten sposób rodzaj filtru o nadzwyczajnie skoncentrowanej powierzchni, przy czem jednak nie stawiają zbytniego oporu przechodzącym gazom spalinowym i nieznacznie osłabiają ciąg.

Do środkowych żeber każdej rury przysrubowane są ścianki rozdzielcze (w rodzaju stosowanych pomiędzy rurami kotłów wodnorurowych), które po ustawieniu ekonomizera tworzą kierownicze ścianki rozdzielcze dla przechodzących gazów spalinowych. Sposób ten, patentowany zagranicą, a także i w Polsce, pozwala na stosowanie możliwie długich rur żeberowych, przez co unika się drogiej, krótkich rur i wewnętrznych, murowanych ścian przegrodowych, a zatem umożliwia tanią instalację.

Gazy spalinowe kotłów parowych zawierają:

- 1) lekki, drobny popiół lotny
- 2) ciężki, gruby koks lotny
- 3) sadzę.

Wydzielanie powyższych cząstek lotnych odbywa się w opisanym ekonomizerze w następujący sposób:

Stosowanie w każdym rzędzie żeber ścian rozdzielczych w konsekwencji wytwarza kanały o względnie małym przekroju, co powoduje większe szybkości przechodzących gazów spalinowych, przy czem lekki, drobny popiół lotny nie ma możności osiąść na powierzchni żeber, a zostaje porwany ze spalinami wskutek ich znacznej szybkości. Natomiast przy przymusowej zmianie kierunku w przepływie spalin nad ostremi krawędziami żeber następuje, wskutek siły odśrodkowej, intensywne wypadanie lekkiego popiołu lotnego do przewidzianych w tym celu komór, konstrukcja których umożliwia usunięcie zebranego popiołu podczas ruchu.

Oddzielenie reszty stałych cząstek lotnych, zawartych w gazach spalinowych, o mianowicie: ciężkiego koksu lotnego i sadzy odbywa się przez osadzanie się tych cząstek na samych żeberkach przez filtracyjną działalność wspomnianej wyżej skoncentrowanej powierzchni ogrzewalnej rur żeberowych.

Dla usunięcia tego osadu z żeber przewidziany jest w ekonomizerze przewoźny przedmuchiawca o podwójnym systemie dmuchawek. To urządzenie stanowi jedną z najważniejszych części ekonomizera.

Przedmuchiwanie parą rur żeberowych nie jest nowością. Nawet przy znanych podgrzewaczach gładkorurowych zamieniono w ostatnich czasach skrobacz na przedmuchiwanie parowe.

Doskonałe oczyszczenie rur ekonomizera jest tylko wtedy osiągalne, jeżeli pomiędzy wszystkimi rurami żeberowymi zastosowany zostanie przesuwany przedmuchiawca z możliwie dużą ilością dysz parowych. Przedmuchiawca ten wyposażony jest w dużą ilość rur parowych z osadzonemi na nich dyszami, co osiąga się przez stosowanie dwóch systemów takich rur parowych mieszczących się w odpowiednich ramach, które połączone z sobą silnemi prętami profilowemi, stanowią wózek przesuwany się na kółkach. Wózek ten stanowi sadywną, mocną konstrukcję, która nie może być deformowana pod wpływem wewnętrznej temperatury ekonomizera. Kierowanie ruchem wózka skutecznia się od zewnątrz.

Przedmuchiwanie parą odbywa się raz lub dwa razy na zmianę i trwa każdorazowo 3—5 minut, tak, że zużycie pary jest znikomo małe.

Ponieważ przedmuchiwanie odbywa się podczas ruchu, to para z dysz natychmiast miesza się z gorącymi gazami spalinowymi, wskutek czego skraplanie się pary na gorącej powierzchni żeber jest zupełnie wykluczone.

Wskutek gęsto skoncentrowanej powierzchni ogrzewalnej para przedmuchiwa na krótkim dystansie uderza z wielką energią o powierzchnię żeber, i zdmuchuje znajdujące się na żeberkach osady, które porywane przez szybki prąd gazów spalinowych, opadają dopiero przy zmianie kierunku prądu w wymienionej wyżej komory zbiornikowe.

Prócz warunku, wymaganego od ekonomizera w pierwszym rzędzie—oszczędności na paliwie, osiąga się poztatem wydzielenie z gazów spalinowych cząstek lotnych, unikając tem samem wszystkich wyżej wymienionych niedogodności i przykrych objawów.

Jako przykład przytaczam dwa wypadki.

W pewnej krajowej fabryce włókienniczej, w której czynne były 4 dwupłomienicowe kotły, silnie forsowane i opalane miałem węglowym na rusztach z podmuchaem, można było, przed wbudowaniem ekonomizera żeberkowego, zauważyć, że w krótkim czasie wszystkie dachy okoliczne w dalekim obwodzie na powłóce śnieżnej pokryte zostały warstwą popiołu lotnego. Po włączeniu nowoczesnego ekonomizera żeberkowego objaw ten więcej się nie powtarzał, a oprócz tego osiągnięto 14% oszczędności na opale.

W drugiej kotłowni o 3-ech kotłach dwupłomienicowych, opalanych ręcznie tanim, polskim węglem na rusztach podmuchiowych, musiano urządzić oddzielną komorę oddzielną dla zmniejszenia plagi lotnych cząstek. Komora oddzielną zajmowała dużo miejsca, jednak oddzielną działała niezadawalająco.

Po wbudowaniu ekonomizera żeberkowego skasowano oddzielną komorę i cząstki lotne nie wydostawały się z komina. Oszczędność na opale wyniosła 12%.

Przy stosowaniu ekonomizerów z rur żeberowych ustalono oszczędności na opale od 8 do 17%, tak, że przeciętnie zaoszczędza się każdy 8-my wagon węgla.

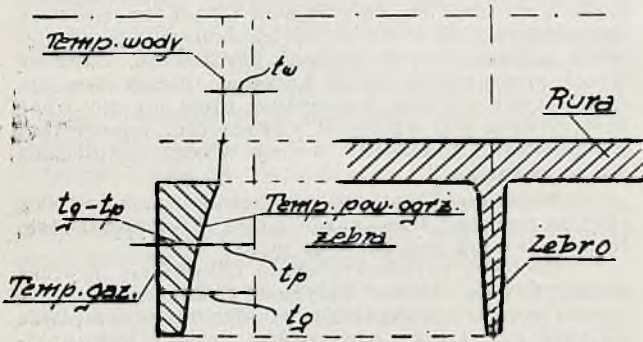
W praktyce okazało się, że ekonomizery z rur żeberowych o średnicy 65 mm w świetle, z talerzowymi żebrami w odstępach 20 mm, zaopatrzone w ściany rozdzielcze i podwójne przedmuchiawce, dały również świetne wyniki przy stosowaniu do kotłów, opalanych miałem krajowym na rusztach podmuchiowych.

Wbudowanie palenisk podmuchiowych daje możliwość forsowania produkcji pary w kotłach przy stosowaniu taniego miału węglowego.

Badania nad działaniem ekonomizerów z rur żeberowych o małej pojemności wody wykazały, że przy zapotrzebowaniu zmiennych ilości pary, jak to

bywa nprz. w farbiarniach, podgrzewacz o małej pojemności wody korzystnie wpływa na regulację produkcji pary, w ten sposób, że podwyższona temperatura gazów spalinowych, ogrzewając szybko wodę zawartą w ekonomizerze, nadmiar swojego ciepła oddaje z powrotem do kotła za pośrednictwem wody zasilającej.

Okazało się, że nawet przy wodzie zasilającej o ujemnych własnościach osadzanie się kamienia w rurach ekonomizera odbywa się w miernych granicach, tak, że wystarcza jedno oczyszczenie na pół roku, aby zabezpieczyć konieczną wymianę ciepła.



Rys. 1

Ekonomizery mogą być włączane i wyłączane podczas ruchu kotłów, przyczem pojedyncze rury, po odśrubowaniu łączników kolankowych, mogą być wymieniane.

Znany, szkodliwy wpływ zimnej wody przy ekonomizerach o rurach gładkich, jest przy rurach żeberkowych znacznie mniejszy.

Objaśnienie tego zjawiska znaleźć można w artykule Dr. R. Pohl'a w zeszytach Nr. 3 wydawnictwa

A.E.G. z r. 1925 (A.E.G.—Mitteilungen), z którego wynika co następuje:

Temperatura powierzchniowa t_p zewnętrznej powierzchni rur żeberkowych wzrasta z powiększeniem się średnicy żeber. Średnia, zewnętrzna temperatura żeber jest zatem wyższą od tejże temperatury przy rurach gładkich. Możliwość skraplania się oparów wodnych, zawartych w gazach spalinowych jest zatem znacznie mniejsza (rys. 1).

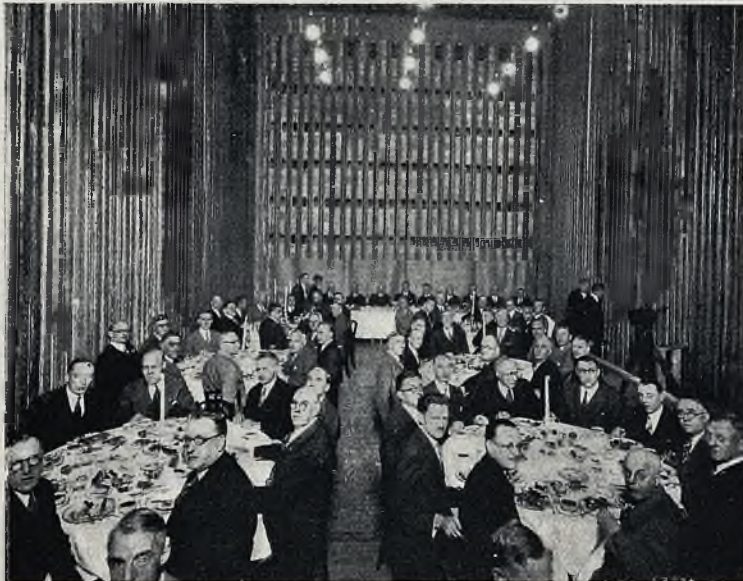
Z powyższego wykresu wynika, że przeciętna różnica ($t_g - t_p$) między temperaturą gazów spalinowych t_g i temperaturą powierzchni żeber t_p przy ekonomizerach z rur żeberkowych jest mniejsza, niż z rur gładkich.

Tem objaśnia się konieczność stosowania większej powierzchni ogrzewalnej przy rurach żeberkowych, niż przy gładkich. Okoliczność jednak, że rura żeberkowa o długości 2 m posiada powierzchnię ogrzewalną 4 m², pozwala stosować względnie małą ilość takich rur i rozmieścić małym kosztem na niewielkiej powierzchni dużą powierzchnię ogrzewalną.

W wypadkach, w których temperatura wody zasilającej jest niższa od 40°C, woda ta podgrzewana zostaje do powyższej temperatury zapomocą dyszy doprowadzającej gorącą wodę podgrzaną w ekonomizerze.

Stosownie do ekonomizerów rury żeberkowe wytrzymały próbną ciśnienie do 300 atn. Z prawdziwą przyjemnością mogę zaznaczyć, że od pewnego czasu polski przemysł maszynowy, korzystając z dobrego surowca krajowego, po ustawieniu specjalnych maszyn i nabyciu odpowiednich patentów, a także po zapewnieniu sobie koniecznej pomocy technicznej—przystąpił do budowy wyżej opisanych ekonomizerów, co umożliwia dostarczanie tanich, łatwo się amortyzujących urządzeń, dających w wyniku znaczne obniżenie kosztów opałowych.

Inż. M. R.



Jadalnia na 91 osób w palenisku kotła parowego. Przed uruchomieniem jednego z nowoustawionych w elektrowni okręgowej East River w New Yorku kotłów palenisko jego posłużyło za salę jadalną dla 91 gości. Powierzchnia tej sali posiadała 91 metrów kwadratowych, a kocioł obliczony jest na wytwarzanie około 320.000 kg pary na godzinę. Ilość pary może być doprowadzona do 400.000 kg/godz.